

Réalisation de de Rham des motifs de Voevodsky

Alexis Bouthier

12 prairial an 217 (01/06/09)

arXiv:0909.5376v1 [math.AG] 29 Sep 2009

Table des matières

1	Introduction	3
2	Motifs purs	5

2.1	Relations d'équivalence	5
2.2	Catégories de motifs purs	7
2.3	Groupes de Galois motiviques	10
3	Motifs mixtes géométriques de Voevodsky	12
3.1	Correspondances	12
3.2	Faisceaux et transferts	14
3.3	Localisation dans une catégorie	16
3.4	Catégorie triangulée de motifs mixtes géométriques	18
3.5	Extension aux variétés singulières	21
4	Localisation des correspondances finies	24
5	Résolution de Godement	27
6	Construction du foncteur de réalisation	30
6.1	Complexe de de Rham logarithmique	30
6.2	Construction de la réalisation	32

1 Introduction

Il y a 40 ans, Grothendieck introduisait la théorie des motifs purs, avec pour ambition d'une part de réaliser une théorie cohomologique universelle qui décrit la cohomologie des variétés projectives lisses, dont les différentes incarnations seraient les cohomologies de Weil qui sont à notre disposition : Betti, l-adique, rigide, de Rham, appelés foncteur de réalisation. D'autre part, il s'agissait d'élaborer une théorie de Galois pour les nombres transcendants.

Cette théorie débute sans doute avec le formalisme tannakien développé dans Saavedra [24], suivant les idées de Grothendieck, où à la fin est énoncé tout un faisceau de conjectures sur les motifs dits purs. Cette théorie est un analogue linéaire de la théorie profinie du π_1 développée dans SGA 1. Un des résultats principaux est qu'une catégorie tensorielle k -linéaire, muni d'un foncteur fibre neutre ([1,10,24] pour les définitions), dite tannakienne, est équivalente à la catégorie de représentations d'un groupe proalgébrique. La catégorie des motifs purs devrait former une telle catégorie et le groupe tannakien qui lui est canoniquement associé serait le groupe de Galois motivique. Malheureusement, une telle catégorie n'est pas disponible pour le moment, principalement à cause des conjectures standards qui restent très largement ouvertes depuis plus de 40 ans.

Dans les années 80, Deligne et Beilinson élaborent un vaste programme pour construire la catégorie des motifs mixtes qui eux, sont censés décrire la cohomologie de toutes les variétés. Deligne propose de construire une catégorie $DM_{gm}(k)$, la catégorie dérivée des motifs mixtes, munie d'une t-structure naturelle où l'on retrouverait les motifs mixtes en prenant

le coeur de cette t-structure. Cette catégorie serait également munie de foncteurs de réalisation, issus des différentes théories cohomologiques. Construire la catégorie dérivée semble plus facile dans la mesure où l'on regarde simultanément tous les groupes de cohomologie et donc on peut se dispenser des problèmes liés à l'algébricité des projecteurs de Künneth. Une telle entreprise a été menée à bien par Voevodsky ([32]), Levine ([20]) et Hanamura qui ont proposé chacun une construction d'une catégorie avec des bonnes propriétés.

Il fallait maintenant munir chacune de ces constructions de réalisations. Levine les a construit pour sa catégorie de motifs mixtes et donc, par comparaison avec la caractéristique nulle avec la construction de Voevodsky, on dispose indirectement de tels foncteurs. Néanmoins, il apparaît préférable de ne pas passer par ce détour et d'obtenir les transferts directement sur les complexes concernés.

Huber, dans [14], construit un foncteur de réalisation, en passant par une catégorie intermédiaire appelée catégorie des systèmes de réalisations, valable pour tout corps k , qui nous fournit les réalisations de Betti, l-adique et de Hodge (le cas rigide n'est pas traité). Néanmoins, Deligne-Goncharov [10] signalent qu'en ce qui concerne la réalisation de Hodge, la littérature n'est pas satisfaisante à ce sujet et ébauchent une construction pour l'obtention d'un tel foncteur.

Dans ce mémoire, il s'agit de construire un foncteur de réalisation de de Rham pour les motifs mixtes géométriques de Voevodsky. La méthode présentée ici est celle esquissée dans Deligne-Goncharov. Elle consiste à mettre des transferts sur le complexe de de Rham logarithmique et une fois vérifiée l'invariance homotopique et la suite de Mayer-Vietoris pour la cohomologie de de Rham ainsi que quelques autres hypothèses mineures, on pourra conclure. Ce travail se décompose de la façon suivante, premièrement les propriétés et les conjectures qui existent au niveau des motifs purs pour motiver la construction ; deuxièmement, l'introduction de la catégorie des correspondances finies et des motifs mixtes géométriques. Ensuite, nous aurons besoin de résultats techniques sur la localisation des correspondances finies afin de mettre des transferts sur la résolution de Godement d'un faisceau. Une fois ceci fait, il ne reste plus qu'à mettre des transferts sur la cohomologie de de Rham, cela s'étendra alors aux résolutions flasques canoniques et le reste ensuite ne sera plus que formel.

Il y a à noter que dernièrement, les travaux de Lecomte-Wach [19 bis] et de Cisinski-Déglise [5] proposent une définition alternative d'un tel foncteur, mais dans les deux cas, pour le moment ils ne disposent pas des poids pour le foncteur de réalisation. Néanmoins, en ce qui concerne Cisinski-Déglise, leur formalisme de cohomologie de Weil mixte leur permet en revanche d'obtenir une réalisation rigide, mais à nouveau se pose le problème de la bonne catégorie de coefficients (en particulier, le foncteur n'arrive pas dans la catégorie dérivée des F-isocristaux).

Je voudrais remercier M.Levine, qui a dirigé ce mémoire et P.Gille qui a bien accepté d'être mon directeur en France. Je remercie également, F.Lecomte, J.Riou et C.Soulé pour avoir accepté de participer à mon jury. Ce travail a été réalisé durant mon séjour à l'Université de Northeastern, Boston, à laquelle je tiens à exprimer ma sincère gratitude. Enfin, merci à Franck Gabriel, mon compagnon d'infortune.

2 Motifs purs

Dans cette section, on rappelle un certain nombre de propriétés des motifs purs qui justifient en partie l'étude des réalisations pour les motifs mixtes. L'autre partie, consistant en l'étude des régulateurs, sera abordée plus tard.

2.1 Relations d'équivalence

On note $\mathcal{P}(k)$ la catégorie des schémas projectifs lisses sur k , un corps. Dans le cas d'une intersection transverse, on sait définir le produit d'intersection de deux cycles algébriques. La notion d'équivalence adéquate nous permet d'étendre à tous les cycles ce produit d'intersection. Pour tout anneau commutatif R , on pose $\mathcal{Z}^r(X)_R := \mathcal{Z}^r(X) \otimes R$.

Définition 1 Une relation d'équivalence \approx sur les cycles algébriques est dite adéquate si elle vérifie les axiomes suivants pour X, Y dans $\mathcal{P}(k)$:

- (1) \approx est compatible à la structure R -linéaire et à la graduation sur les cycles.
- (2) pour tous $\alpha, \beta \in \mathcal{Z}^\bullet(X)_R$, il existe $\alpha' \approx \alpha$ tel que α' et β se coupent proprement.
- (3) pour tout α dans $\mathcal{Z}^\bullet(X)_R$ et tout $\gamma \in \mathcal{Z}^\bullet(X \times Y)_R$ coupant proprement $pr_1^*(\alpha)$, on a : $\alpha \approx 0 \Rightarrow \gamma_*(\alpha) := pr_{2*}(\gamma.pr_1^*(\alpha)) \approx 0$.

On note $\mathcal{Z}_{\approx}^\bullet(X)_R := \mathcal{Z}^\bullet(X)_R / \approx$ qui en fait une R -algèbre graduée commutative. Les éléments de $\mathcal{Z}_{\approx}^{\dim X+r}(X \times Y)_R$ sont appelés les correspondances de degré r . La formule

$$g \circ f = p_{13*}(p_{12}^*(f).p_{23}^*(g))$$

fournit une loi de composition asociative (cf Fulton) pour les correspondances modulo \approx :

$$\mathcal{Z}_{\approx}^{\dim X+r}(X \times Y)_R \otimes \mathcal{Z}_{\approx}^{\dim Y+s}(Y \times Z)_R \rightarrow \mathcal{Z}_{\approx}^{\dim X+r+s}(X \times Z)_R$$

On a alors en particulier que $\mathcal{Z}_{\approx}^{\dim X}(X \times X)_R$ est une algèbre en général non commutative. L'unité est la classe de la diagonale et elle est munie d'une anti-involution donnée par la transposée.

Exemples de relations d'équivalence :

- équivalence rationnelle : Un cycle α est dit rationnellement à 0 si il existe $\beta \in \mathcal{Z}_{\approx}^\bullet(X \times \mathbb{P}^1)_R$ tel que $\beta(0)$ et $\beta(\infty)$ et que $\alpha = \beta(0) - \beta(\infty)$. Ils donnent classiquement les groupes de Chow.
- équivalence numérique : Soit $\alpha \in \mathcal{Z}_{\approx}^r(X)_R$ on a : $\alpha \approx_{num} 0 \Leftrightarrow \forall \beta \in \mathcal{Z}_{\approx}^r(X)_R, deg(\alpha.\beta) = 0$.
- équivalence homologique, (cf ci-dessous). On va rappeler d'abord l'axiomatique des cohomologies de Weil.

Définition 2 Soit F un corps de coefficients de caractéristique nulle. Une cohomologie de Weil est un foncteur $H : \mathcal{P}(k)^{op} \rightarrow VecGr_F$ avec les propriétés et données additionnelles

suivantes :

(1) H est un \otimes -foncteur, nous avons une formule de Künneth :
 $H(X) \otimes H(Y) = H(X \times Y)$ pour X, Y dans $\mathcal{P}(k)$.

(2) $H(X)$ est en degrés positifs.

(3) $\forall X, Y \in \mathcal{P}(k)$, on a un isomorphisme canonique $H(X \amalg Y) = H(X) \oplus H(Y)$.

(4) Le F -espace vectoriel $H^2(\mathbb{P}^1)$ est de dimension 1, son dual est noté $F(1)$. Pour tout F -espace vectoriel V , n un entier, on pose $V(n) = V \otimes F^{\otimes n}$.

(5) $\forall X \in \mathcal{P}(k)$ de dimension d , il existe une application trace multiplicative $Tr : H^{2d}(X)(d) \rightarrow F$ qui induit un accouplement parfait de Poincaré :

$$H^{2d-i}(X)(d) \times H^i(X) \rightarrow H^{2d}(X)(d) \rightarrow F.$$

(6) Il existe un morphisme classe de cycles $cl : CH^\bullet(X) \rightarrow H^{2*}(X)(*)$ contravariant en $X \in \mathcal{P}(k)$, compatible aux produits et normalisé par la trace de telle façon que l'application sur les zéros-cycles est donné par le degré.

(7) $cl([\infty])$ est donné par $H^2(\mathbb{P}^1)(1)$.

Définition 3 Un cycle $x \in CH^d(X)_F$ est homologiquement équivalent à zéro (selon une cohomologie de Weil fixée H) si $cl([x]) = 0$. Cela définit une équivalence adéquate.

Exemples : - Cohomologie de Weil classiques :

(1) Pour tout premier l inversible dans k et \bar{k} une clôture séparable de k , la cohomologie étale $H_{et}^\bullet(X_{\bar{k}}, \mathbb{Q}_l)$ est une cohomologie de Weil à coefficients dans \mathbb{Q}_l .

(2) Si k est de caractéristique nulle, la cohomologie de de Rham algébrique $H_{dR}^\bullet(X/k)$ est une cohomologie de Weil à coefficients dans k .

(3) Si $\sigma : k \rightarrow \mathbb{C}$ est un plongement complexe, la cohomologie de Betti $H_B^\bullet(X, \mathbb{Q})$ est une cohomologie de Weil à coefficients dans \mathbb{Q} .

(4) Si k est de caractéristique p , la cohomologie cristalline $H_{cris}^\bullet(X)$ est une cohomologie de Weil à coefficients dans $W(k)_{[1/p]}$.

Lemme 1 \approx_{rat} est l'équivalence adéquate la plus fine et \approx_{num} la plus grossière.

2.2 Catégories de motifs purs

Définition 4 On note $Mot_{\approx}^{eff}(k)$ l'enveloppe pseudo-abélienne de la catégorie suivante : Les objets sont les k -schémas lisses projectifs et les morphismes donnés par $\mathcal{Z}_{\approx}^{dim X}(X \times Y)_F$ (si X connexe, sinon, faire la somme sur les composantes connexes) avec comme loi de composition, celle définie ci-dessus. Elle consiste en les motifs purs effectifs.

Remarque :

-On a un foncteur naturel h de $\mathcal{P}(k)$ de $Mot_{\approx}^{eff}(k)$ en prenant les mêmes objets et en associant à $f : X \rightarrow Y$ le graphe de f dont on a vu que c'était une correspondance de degré zéro.

-Un point rationnel fournit une décomposition du motif de \mathbb{P}^1 : $h(\mathbb{P}^1) = 1 \oplus \mathbb{L}$ ou \mathbb{L} est le motif de Lefschetz et 1 le motif de $\text{Spec}(k)$, dit motif trivial.

Définition 5 En inversant le motif de Lefschetz, on obtient la catégorie des motifs purs. Elle est notée $Mot_{\approx}(k)$. Dans le cas de l'équivalence rationnelle, on parle de motifs de Chow, noté $CHM(k)_{\mathbb{Q}}$ et de motifs numériques dans le cas de l'équivalence numérique.

Etant donné que l'équivalence rationnelle est la plus fine, on a toujours un foncteur de : $CHM(k)_{\mathbb{Q}} \rightarrow Mot_{\approx}(k)$.

Chacune des cohomologies de Weil à coefficients dans K fournit un foncteur contrava-riant des motifs purs vers les K -espaces vectoriels gradués. On a le diagramme suivant :

Conjecture (Grothendieck) : L'équivalence homologique et l'équivalence numérique coïncident.

Remarque : On sait que cette conjecture est vraie pour les variétés abéliennes en caractéristique nulle (cf [19 bis]). La conjecture associée avec la proposition ci-dessus, ainsi que l'algébricité des projecteurs, fait de la catégorie des motifs numériques une catégorie tannakienne semi-simple.

Comme on l'a vu, on a toute une famille de réalisations des motifs purs numériques vers des espaces vectoriels gradués, mais il s'avère que l'on a des structures enrichies dans les catégories d'arrivée que nous allons passer en revue.

Cohomologie étale :

On a une action naturelle du groupe de Galois $Gal(\bar{k}/k)$ sur $H_{et}^\bullet(X_{\bar{k}}, \mathbb{Q}_l)$ et pour tout entier q , on a donc une représentation continue du groupe profini $Gal(\bar{k}/k)$, $H_{et}^q(X_{\bar{k}}, \mathbb{Q}_l)$. De plus, $\mathbb{Q}_l(1)$ est isomorphe en tant que représentation galoisienne à $\mathbb{Z}_l(1)[\frac{1}{l}]$ ou $\mathbb{Z}_l(1) := \varprojlim_{\nu} \mu_{l^\nu}(\bar{k})$. On a alors que le foncteur de réalisation de $Mot_{rat}(k) \rightarrow VecGr_{\mathbb{Q}_l}$, s'enrichit dans la catégorie des \mathbb{Q}_l -représentations continues de $Gal(\bar{k}/k)$.

Cohomologie de de Rham algébrique :

On a une suite spectrale d'hypercohomologie $E_2^{pq} = H^q(X, \Omega_{X/k}^p) \Rightarrow H_{DR}^{p+q}(X/k)$ On a alors canoniquement une filtration F issue de la suite spectrale sur $H_{DR}^i(X/k)$. Le calcul de $H^2(\mathbb{P}^1/k)$ montre qu'il est isomorphe à k en degré de Hodge 1.

Réalisation de Betti :

k un sous-corps de \mathbb{C} , $X \in \mathcal{P}(k)$. Par la théorie de Hodge, pour tout $i \geq 0$, on a une décomposition de $H_{DR}^i(X(\mathbb{C}))$. Par le théorème de comparaison Betti-de Rham, on a une décomposition canonique :

$$H_B^i(X) \otimes \mathbb{C} = \bigoplus_{p+q=i} H^{p,q} \text{ avec } \bar{H}^{p,q} = H^{q,p}$$

Définition 6 Une \mathbb{Q} -structure de Hodge pure de poids n est un \mathbb{Q} -espace vectoriel de dimension finie avec une décomposition du complexifié : $V_{\mathbb{C}} = \bigoplus_{p+q=n} V^{p,q}$ avec $\bar{V}^{p,q} = V^{q,p}$. La filtration de Hodge sur $V_{\mathbb{C}}$ est définie par $F^p V_{\mathbb{C}} = \sum_{p' \geq p} V^{n-p', p'}$.

On note $SH_{\mathbb{Q}}$ la catégorie des structures de Hodge pures. C'est une catégorie tannakienne avec comme foncteur fibre, le foncteur d'oubli. Cette fois-ci le foncteur s'enrichit à travers $SH_{\mathbb{Q}}$.

Cohomologie cristalline :

Les groupes de cohomologie cristalline $H_{cris}^\bullet(X) = H_{cris}^\bullet(X/W(k))[\frac{1}{p}]$ sont canoniquement munis d'une action semi-linéaire du Frobenius $\phi : H_{cris}^\bullet(X) \rightarrow H_{cris}^\bullet(X)$.

2.3 Groupes de Galois motiviques

Commençons par quelques rappels de théorie tannakienne (cf [9],[24] pour plus de détails). Soit F un corps et soit \mathcal{T} une \otimes -catégorie rigide abélienne avec $End(1) = F$. Un foncteur fibre sur \mathcal{T} est un \otimes -foncteur exact fidèle :

$\omega : \mathcal{T} \rightarrow Vec_K$ où K est une extension de F . Si un tel foncteur existe, on dit que \mathcal{T} est une catégorie tannakienne.

On définit alors un K -schéma en groupes affine $G = Aut^{\otimes} \omega$. Dans le cas où le foncteur fibre est neutre, i-e $K=F$, ω s'enrichit en une équivalence de \otimes -catégories rigides :

$\omega : \mathcal{T} \rightarrow Rep_F G$ où $Rep_F G$ désigne la \otimes -catégorie rigide des F -représentations de dimension finie de G . En outre, la catégorie des foncteurs fibres sur F est équivalente à la catégorie des G -torseurs.

On a en plus un dictionnaire remarquable entre les propriétés algébriques de G et celles catégoriques de \mathcal{T} :

(1) F est de caractéristique nulle, \mathcal{T} semi-simple $\Leftrightarrow G$ pro-réductif.

(2) G est algébrique $\Leftrightarrow \mathcal{T}$ est de \otimes -génération finie.

On a également d'autres critères pour déterminer la connexité ou la finitude du groupe tannakien (cf [9], [24]).

On a également des propriétés analogues pour les morphismes.

Si $F : \mathcal{T}' \rightarrow \mathcal{T}$ est un \otimes -foncteur exact entre catégories tannakiennes neutres. On note ω un foncteur fibre pour \mathcal{T} , alors $\omega' := \omega \circ F$ est un foncteur fibre pour \mathcal{T}' et on a un morphisme $f : G \rightarrow G'$.

Réciproquement, si on a un morphisme f entre les groupes tannakiens, on obtient un \otimes -foncteur exact $\phi := f^*$. On a :

(i) f immersion fermée \Leftrightarrow tout objet M de \mathcal{T} est sous-quotient de l'image par ϕ d'un objet N' de \mathcal{T}' .

(ii) f fidèlement plat $\Leftrightarrow \phi$ est pleinement fidèle, et pour tout objet M' de \mathcal{T}' , tout sous-objet de $\phi(M')$ est l'image par ϕ d'un sous-objet M' de \mathcal{T}' .

La théorie tannakienne apparaît à divers endroits en mathématiques, théorie de Galois différentielle, correspondance de Riemann-Hilbert, géométrie algébrique et il ne s'agit pas ici de faire un panorama de la théorie tannakienne pure. Nous allons juste nous attarder sur le groupe de Galois motivique.

On se place sous la conjecture $\approx_{num} = \approx_{hom}$ et on suppose l'algébricité des projecteurs. On considère la catégorie des motifs numériques rationnels. On a vu qu'une telle catégorie est tannakienne neutre semi-simple avec comme foncteur fibre la réalisation de Betti H_B . On

appelle alors groupe de Galois motivique $G_{mot,k}$ attaché à H_B le schéma en groupes affines des automorphismes du foncteur fibre. C'est un \mathbb{Q} -groupe pro-réductif.

Etant donné un motif numérique M , son groupe de Galois motivique $G_{mot,k}(M)$ est le groupe tannakien associé à la catégorie tannakienne qu'il engendre. C'est un groupe réductif sur \mathbb{Q} . De plus, on a que $G_{mot,k} = \varinjlim_M G_{mot,k}(M)$. On a les propriétés suivantes pour les groupes de Galois motiviques :

(1) Pour un sous-corps k de \mathbb{C} , de clôture algébrique \bar{k} , on a $G_{mot}(X_{\bar{k}}) = G_{mot}(X_{\mathbb{C}})$ qui est d'indice fini dans $G_{mot}(X)$.

(2) On appelle groupe de Mumford-Tate $MT(X)$ le groupe tannakien associé à la structure de Hodge pure $H_B(X)$. Ce sont des groupes connexes et la théorie tannakienne fournit un morphisme de $G_{mot}(X) \rightarrow MT(X)$. Conjecturalement, ce sont des groupes isomorphes. On a un cocaractère de poids $\mathbb{G}_m \rightarrow MT(X)$, qui vient de la filtration par le poids.

Nous allons maintenant donner quelques exemples de calculs de groupes de Galois motiviques (cf [1] pour plus d'exemples).

Par la théorie des invariants de Chevalley, on a que si \mathcal{T} est un catégorie tannakienne semi-simple neutre engendrée par un objet M , munie d'un foncteur fibre ω . $Aut^{\otimes} \omega$ est le sous-groupe réductif fermé de $GL(\omega(M))$.

Soit A une courbe elliptique non CM sur un corps k . Elle vérifie les conjectures standards. On a $h(A) = \wedge h^1(A)$ où $h^1(A)$ est de rang 2. On a donc que $G_{mot}(A)$ est un sous-groupe réductif de $GL_{2,\mathbb{Q}}$. On va commencer par déterminer $MT(A_{\mathbb{C}})$. C'est un sous-groupe réductif connexe de GL_2 contenant les homothéties (l'image du cocaractère de poids). Il ne reste que trois possibilités : \mathbb{G}_m , GL_2 ou un tore de Cartan. Ces groupes peuvent se distinguer par leur commutant. On a : $End_{MT(A_{\mathbb{C}})} H_B(A) = End(A_{\mathbb{C}}) \otimes \mathbb{Q}$. On en déduit alors que le groupe de Galois motivique est $GL_{2,\mathbb{Q}}$.

Les groupes de Galois motiviques ont beaucoup de propriétés conjecturales dont nous n'aurons pas l'occasion de parler, par exemple, la dimension du groupe de Galois motivique sur \mathbb{Q} est égale au degré de transcendance de la \mathbb{Q} -algèbre des périodes. Dans le cas ci-dessus, cela nous donne que les périodes de la courbe elliptique sont transcendentes et indépendantes sur \mathbb{Q} . Cette conjecture est appelée conjecture des périodes de Grothendieck et englobe conjecturalement un grand nombre de résultats de la théorie des nombres transcendents. On se référera au livre d'André [1] pour plus de précisions.

3 Motifs mixtes géométriques de Voevodsky

3.1 Correspondances

Soit k un corps. On note Sm/k la catégorie des schémas lisses séparés sur k .

Définition 7 Soit X un schéma connexe et lisse sur k , Y un k -schéma séparé. Une correspondance élémentaire Γ de X vers Y est un sous-schéma fermé intègre de $X \times Y$ qui est fini surjectif sur X .

Dans le cas X non connexe, une correspondance élémentaire est une correspondance d'une des composantes connexes.

Le groupe $\text{Cor}(X, Y)$ est le groupe abélien libre engendré par les correspondances élémentaires de X vers Y . On note $\text{Cor}(X, Y)^{eff}$ les correspondances dites effectives, i-e avec tous les coefficients entiers positifs.

Exemples : - Si $f : X \rightarrow Y$ alors la somme des composantes connexes de Γ_f le graphe de f est une correspondance finie.

- Chaque sous-schéma fermé de $X \times Y$ fini, surjectif, définit une correspondance finie de X vers Y , il suffit de prendre la somme $\sum n_k [W_k]$ où les W_k sont les composantes irréductibles de Z et les n_k les multiplicités géométriques de W_k dans Z .

On va maintenant définir grâce au produit d'intersection une loi de composition pour les correspondances finies, valables également pour les cycles algébriques.

Soit Γ une correspondance de X vers Y et Γ' une correspondance de Y vers Z , on définit $\Gamma \circ \Gamma'$ par : $p_{13*}(p_{12}^*(\Gamma) \cdot p_{23}^*(\Gamma'))$ où \cdot désigne le produit d'intersection de Serre.

On a que c'est une loi de composition associative et bilinéaire ([12]).

Définition 8 On note SmCor/k la catégorie des correspondances finies où les objets sont les schémas lisses séparés sur k et les morphismes les correspondances finies munies de la loi de composition donnée ci-dessus.

Proposition 1 On a un foncteur fidèle $\Gamma : \text{Sm}/k \rightarrow \text{SmCor}/k$ donné par : $X \rightarrow X$ et $(f : X \rightarrow Y) \rightarrow \Gamma_f$.

Preuve 1 On a juste à vérifier que $\Gamma_{f \circ g} = \Gamma_f \circ \Gamma_g$ ce qui est facile et laissé en exercice (cf [12]).

On a de plus que SmCor/k est munie d'une structure tensorielle donnée par $X \otimes Y := X \times Y$ et le produit tensoriel de morphismes est donné par le produit externe de cycles, qui en fait une catégorie monoïdale symétrique. On voit également que cette catégorie est naturellement additive avec $[X] \oplus [Y] = [X \amalg Y]$.

Remarque : Ces définitions se généralisent aisément à une base noethérienne régulière quelconque (cf [15]), avec quelques difficultés supplémentaires pour la loi de composition si la base n'est pas régulière. On a également une deuxième définition des correspondances finies qui s'avère parfois plus aisée, qui convient surtout à la caractéristique nulle.

Soit X dans Sm/k de caractéristique nulle, on pose :

$$\text{Sym}X = \coprod_{n \geq 1} \text{Sym}^n(X).$$

On a alors que pour Y dans Sm/k , $(\text{Sym}X)(Y) = \text{Hom}(\text{Sym}(X), \text{Sym}(Y))$ où le Hom est au sens des monoïdes.

On obtient la proposition suivante :

Proposition 2 *Il y a un morphisme de monoïdes compatible à la composition des correspondances :*

$$\sigma : \text{Cor}(X, Y)^{\text{eff}} \rightarrow (\text{Sym}X)(Y) \text{ qui est un isomorphisme.}$$

On rappelle la preuve de [4] Prop 2.1.2.

Preuve 2 (i) *On peut supposer X connexe. On définit σ sur les générateurs de $\text{Cor}(X, Y)$. Soit Γ une correspondance élémentaire de X vers Y . On note n le degré de Γ et on écrit $\Gamma = \text{Spec}(\mathcal{A}_X)$ où \mathcal{A}_X est une \mathcal{O}_X -algèbre cohérente.*

Soit U un ouvert de X sur lequel Γ est plat. Le X -schéma $\text{Sym}^n(\Gamma)$ admet une section s_Γ au-dessus de U . Pour $f \in \mathcal{A}_U$, la fonction $s_\Gamma^ f^{\otimes n}$ est le déterminant de f agissant par multiplication sur le \mathcal{O}_U -module \mathcal{A}_U .*

Comme X est normal, la section s'étend de manière unique à X et on associe donc à Γ le morphisme $\sigma(\Gamma) : X \xrightarrow{s_\Gamma} \text{Sym}^n(\Gamma) \rightarrow \text{Sym}^n(Y)$.

(ii) *Soit $\gamma_V \in \text{Cor}(V, Y)$ avec V ouvert non vide de X . Montrons que γ_V s'étend à $\text{Cor}(X, Y)$ si et seulement si $\sigma(\gamma_V) : V \xrightarrow{s_{\gamma_V}} \text{Sym}^n(\Gamma) \rightarrow \text{Sym}^n(Y)$, $n = \text{deg}(\gamma_V)$ s'étend à X .*

Soit Z_V le support de cycle γ_V , Z son adhérence dans $X \times Y$. Alors γ_V s'étend à X si et seulement si Z est fini sur X . Supposons que $\sigma(\gamma_V)$ s'étend à $X \rightarrow \text{Sym}^n(Y)$. On considère Y^n comme un schéma fini sur $\text{Sym}^n(Y)$, et soit $\tilde{Z} := Y^n \times_{\text{Sym}^n(Y)} X$ et Z' l'image dans $X \times Y$ par n'importe quelle projection de $Y^n \rightarrow Y$. On a alors que Z' est fini sur X et $Z' \supset Z_V$ donc \tilde{Z} est fini sur X , ce qu'on voulait.

(iii) *D'après (ii), il nous suffit de vérifier l'isomorphisme au point générique η de X . En remplaçant k par η et Y par Y_η , on peut supposer $X = \text{Spec}(k)$, donc $\text{Cor}(X, Y)$ est le groupe des zéros-cycles de Y . Comme c'est clairement un isomorphisme pour k algébriquement clos, on a par la théorie de Galois que c'est vrai si k est parfait, le cas général s'en déduit en prenant la clôture parfaite.*

En effet, pour une extension finie k'/k de corps les compositions des morphismes canoniques de $Z_0(Y) \rightrightarrows Z_0(Y_{k'})$ font la multiplication par $[k' : k]$ et $(\text{Sym}X)(k) \rightarrow (\text{Sym}X)(k')$ est in-

jective.

(iv) Soit γ dans $Cor(X, Y)^{eff}$ et γ' dans $Cor(Y, Z)^{eff}$ on a $\sigma(\gamma'\gamma) = \sigma(\gamma') \circ \sigma(\gamma)$ où $\sigma(\gamma)$ est vu comme un morphisme de $Sym(X)$ vers $Sym(Y)$. Comme en (3), on se ramène à $X = Spec(k)$ et $\gamma = y \in Y(k)$. On peut supposer γ' effective et en remplaçant Y par un voisinage affine de $\gamma'(y)$, que $Z = Spec(B)$. Alors $z := \sigma(\gamma'\gamma)$ et $z' := \sigma(\gamma') \circ \sigma(\gamma)$ sont des k -points de $Sym^n(Z) = Spec(B)^{\Sigma_n}$.

Cette algèbre est engendrée par les $b^{\otimes n}$ qui ne s'annule pas en $\gamma'(y)$ et il faut voir que $b^{\otimes n}(z) = b^{\otimes n}(z')$. Si $\gamma'(y) = \sum n_i[z_i]$, alors $b^{\otimes n}(\gamma(y)) = \prod Nm_{k(z_i)/k}(b(z_i)^{n_i})$ où $Nm_{k(z_i)/k} : k(z_i) \rightarrow k$ est l'application norme. De plus, $b^{\otimes n}(z')$ est le déterminant de la multiplication par b sur la fibre dérivée $Li_y^* \mathcal{A}_X$ de \mathcal{A}_X en y . C'est un complexe de B -modules supporté en les z_i et de caractéristique d'Euler-Poincaré en z_i les n_i .

3.2 Faisceaux et transferts

Définition 9 Un préfaisceau avec transferts est un foncteur additif contravariant $F : SmCor/k \rightarrow Ab$. On note $PST(k)$ la catégorie de tels foncteurs. Pour ce paragraphe, on se référera à [32].

Remarque : D'après Weibel, on a que $PST(k)$ est abélienne et admet assez de projectifs et d'injectifs. Nous n'en aurons pas l'utilité, mais il s'avère que c'est très important dans le cadre de la catégorie homotopique stable des schémas.

Exemples : Le faisceau des sections globales est canoniquement muni de transferts (cf plus loin). Les faisceaux représentables fournissent également une classe importante de préfaisceaux avec transferts. Si $X \in Sm/k$, on notera $\mathbb{Z}_{tr}(X)$, le faisceau représentable qui s'en déduit. Dans ce paragraphe, on rappelle quelques propriétés de la topologie Nisnevich dont nous aurons besoin plus tard.

Définition 10 Une famille de morphismes étales $\{p_i : U_i \rightarrow X\}$ est un recouvrement Nisnevich, si il a la propriété de relèvement suivante : Pour tout $x \in X$, il existe i et $u \in U_i$ tel que $p_i(u) = x$ et le morphisme induit $k(x) \rightarrow k(u)$ est un isomorphisme.

Exemple : Pour illustrer le côté arithmétique de la topologie Nisnevich et un de ses avantages par rapport à la topologie étale, on a l'exemple suivant. Soit k un corps de caractéristique différente de deux, les deux morphismes $U_0 = \mathbb{A}^1 - \{a\} \rightarrow \mathbb{A}^1$ et $U_1 = \mathbb{A}^1 - \{0\} \xrightarrow{z \rightarrow z^2} \mathbb{A}^1$ forment un recouvrement Nisnevich si et seulement si $a \in (k^*)^2$ et un recouvrement étale pour tout a non nul.

Lemme 2 Si $\{p_i : U_i \rightarrow X\}$ est un recouvrement Nisnevich, il existe un ouvert non vide $V \subset X$ et un indice i tel que $U_{i,V} \rightarrow V$ admet une section.

Pour chaque point générique x de X , il y a un point générique $u \in U_i$ tel que $k(x) \cong k(u)$. On a donc un morphisme birationnel entre les composantes irréductibles de U_i et X , i-e $U_i \rightarrow X$ on a une section sur un ouvert V contenant x .

Remarque : Les points pour la topologie de Nisnevich sont les anneaux locaux henséliens. En effet, si $\{U_i \rightarrow \text{Spec}(R)\}$ est un recouvrement Nisnevich, avec R hensélien, alors un certain U_i est fini étale d'où $U_i \rightarrow \text{Spec}(R)$ est scindé et donc tout recouvrement Nisnevich admet un raffinement par le recouvrement trivial.

La raison fondamentale qui justifie en grande partie l'utilisation de la topologie étale ou Nisnevich par rapport à la topologie de Zariski est le lemme suivant :

Lemme 3 (Prop 6.12 [21])

$p : U \rightarrow X$ un recouvrement étale (ou Nisnevich). On définit $\mathbb{Z}_{\text{tr}}(\check{U})$ le complexe de Čech :

$$\cdots \xrightarrow{p_0 - p_1 + p_2} \mathbb{Z}_{\text{tr}}(U \times U) \xrightarrow{p_0 - p_1} \mathbb{Z}_{\text{tr}}(U) \longrightarrow 0.$$

Alors $\mathbb{Z}_{\text{tr}}(\check{U})$ est une résolution étale (resp Nisnevich) de $\mathbb{Z}_{\text{tr}}(X)$, i-e $\mathbb{Z}_{\text{tr}}(\check{U}) \rightarrow \mathbb{Z}_{\text{tr}}(X) \rightarrow 0$ est exact.

Preuve 3 On le traite dans le cas étale, le cas Nisnevich ne nécessite que des modifications mineures. Comme c'est un complexe de faisceaux, il suffit de le vérifier en chacun des points. Comme les points en topologie étale sont les schémas henséliens strictement locaux, il suffit de montrer que pour tout schéma hensélien local S sur k , la suite de groupes abéliens :

$$\cdots \longrightarrow \mathbb{Z}_{\text{tr}}(U)(S) \xrightarrow{p_0 - p_1} \mathbb{Z}_{\text{tr}}(X)(S) \longrightarrow 0$$

(*) est exacte.

Pour prouver l'exactitude, on a besoin d'une étape supplémentaire. Soit Z un sous-schéma de $X \times S$ qui est quasi-fini sur S . On note $L(Z/S)$ le groupe abélien libre engendré par les composantes irréductibles de Z qui sont finies surjectives sur S . On a que $L(Z/S)$ est fonctoriel et covariant en Z par rapport au morphismes quasi-finis sur S . Clairement la suite (*) s'obtient que la limite inductive de complexes de la forme :

$$\cdots \longrightarrow \mathbb{Z}_{\text{tr}}(Z \times U) \longrightarrow L(Z/S) \longrightarrow 0$$

(**)

où la limite est prise sur tous les sous-schémas de $X \times S$ qui sont finis surjectifs sur S . On est donc ramené à montrer l'exactitude de (**). Comme S est hensélien, on a alors que Z est également hensélien, comme il est fini surjectif sur S , d'où $Z_U := Z \times U \rightarrow Z$ se scinde Soit s_1 une section. On pose $Z_{U,Z}^k = Z_U \times \cdots \times Z_U$. Il suffit de montrer que les $s_k : L((Z_{U,Z})^k/S) \rightarrow L((Z_{U,Z})^{k+1}/S)$ sont des homotopies contractantes où $s_k = L(s_1 \times \text{id}_{(Z_{U,Z})^k})$.

Remarque : En topologie de Zariski, ce lemme est faux. En effet, si $U_i \rightarrow X$ est un recouvrement Zariski d'un schéma X connexe semi-local fini sur S local ; en prenant le graphe Γ de X , on vérifie qu'il ne provient pas d'un élément de $\oplus \mathbb{Z}_{tr}(U_i)(S)$.

Définition 11 *Un faisceau Nisnevich (étale, Zariski, ou pour n'importe quelle topologie de son choix) avec transferts est un préfaisceau avec transferts dont le préfaisceau sous-jacent est un faisceau Nisnevich (de même,...) sur Sm/k .*

Proposition 3 *Soit F un préfaisceau avec transferts, alors on peut faisceautiser F dans $PST(k)$ en un faisceau Nisnevich avec transferts de manière unique avec la propriété universelle qu'on connaît. En d'autres termes, le foncteur d'oubli de $Sh_{Nis}(SmCor/k) \rightarrow PST(k)$ admet un adjoint à droite a_{Nis} qui est exact et commute avec le foncteur d'oubli des faisceaux sur Sm/k .*

Preuve 4 cf Th 13.1 [21].

3.3 Localisation dans une catégorie

Soient \mathcal{C} une catégorie, S une famille de morphismes.

Définition 12 *Une localisation de \mathcal{C} par S est la donnée d'une catégorie \mathcal{C}_S et un foncteur $Q : \mathcal{C} \rightarrow \mathcal{C}_S$ satisfaisant :*

1. *Pour tout $s \in S$, $Q(s)$ est un isomorphisme.*
2. *Pour tout foncteur $F : \mathcal{C} \rightarrow \mathcal{A}$ tel que $F(s)$ est un isomorphisme pour tout $s \in S$, il existe un foncteur $F_S : \mathcal{C}_S \rightarrow \mathcal{A}$ et un isomorphisme $F \cong F(s) \circ Q$,*

$$\begin{array}{ccc}
 \mathcal{C} & \xrightarrow{F} & \mathcal{A} \\
 Q \downarrow & \nearrow F_S & \\
 \mathcal{C}_S & &
 \end{array}$$

3. *Si G_1 et G_2 sont deux objets de $Fct(\mathcal{C}_S, \mathcal{A})$ alors l'application naturelle : $Hom_{Fct(\mathcal{C}_S, \mathcal{A})}(G_1, G_2) \rightarrow Hom_{Fct(\mathcal{C}, \mathcal{A})}(G_1 \circ Q, G_2 \circ Q)$ est un isomorphisme.*

Remarque : (c) signifie que le foncteur $\circ Q : Fct(\mathcal{C}_S, \mathcal{A}) \rightarrow Fct(\mathcal{C}, \mathcal{A})$ est pleinement fidèle. Cela implique que F_S dans (2) est unique à unique isomorphisme près.

Proposition 4 *Si \mathcal{C}_S existe, elle est unique à équivalence de catégories près.*

Définition 13 On dit que S est un système multiplicatif à droite si il verifie les axiomes ci-dessus.

1. Pour tout $X \in \mathcal{C}$, $id_X \in \mathcal{S}$.
2. Pour $f \in \mathcal{S}$, $g \in \mathcal{S}$, si $g \circ f$ existe, $g \circ f \in \mathcal{S}$
3. Soient deux morphismes, $f : X \rightarrow Y$ et $s : X \rightarrow X'$ avec $s \in \mathcal{S}$, il existe $t : Y \rightarrow Y'$ et $g : X' \rightarrow Y'$ avec $t \in \mathcal{S}$ et $g \circ s = t \circ f$. On le représente par le diagramme :

$$\begin{array}{ccc} X' & & \\ \uparrow s & & \\ X & \xrightarrow{f} & Y \end{array} \quad \Rightarrow \quad \begin{array}{ccc} X' & \xrightarrow{g} & Y' \\ \uparrow s & & \uparrow t \\ X & \xrightarrow{f} & Y \end{array}$$

4. Soient $f, g : X \rightarrow Y$ deux morphismes parallèles. Si il existe $s \in \mathcal{S} : W \rightarrow X$ tel que $g \circ s = f \circ s$, alors il existe $t \in \mathcal{S} : Y \rightarrow Z$ tel que $t \circ f = t \circ g$. On le résume par le diagramme suivant :

$$W \xrightarrow{s} X \xrightarrow[f]{g} Y \xrightarrow{t} Z$$

Remarque : On peut définir de manière analogue un système multiplicatif à gauche.

Définition 14 Soit S un système multiplicatif à droite et $X \in \mathcal{C}$. On définit la catégorie S^X comme suit : $Ob(S^X) = \{s : X \rightarrow X' / s \in \mathcal{S}\}$
 $Hom((s : X \rightarrow X'), (s' : X \rightarrow X'')) = \{h : X \rightarrow X'' / h \circ s = s'\}$.

Proposition 5 Si S est un système multiplicatif à droite, alors la catégorie S^X est filtrante.

La preuve est facile et laissée en exercice.

Définition 15 Pour S un système multiplicatif à droite et X, Y dans $Ob(\mathcal{C})$. On considère la catégorie $\mathcal{C}[S^{-1}]$ avec les mêmes objets que \mathcal{C} et comme groupes de morphismes : $Hom_{\mathcal{C}[S^{-1}]}(X, Y) = \varinjlim_{Y'} Hom_{\mathcal{C}}(X, Y')$.

On note $Q : \mathcal{C} \rightarrow \mathcal{C}[S^{-1}]$ le foncteur canonique.

Théorème 2 (Verdier)

- (i) $\mathcal{C}[S^{-1}]$ est une catégorie additive munie d'un automorphisme T .
- (ii) $\mathcal{C}[S^{-1}]$ est une catégorie triangulée où un triangle T est distingué si T est isomorphe à

l'image par Q d'un triangle distingué de $\mathcal{C}[S^{-1}]$.

(iii) La catégorie $\mathcal{C}[S^{-1}]$ vérifie la propriété universelle suivante :

Pour tout foncteur $F : \mathcal{C} \rightarrow \mathcal{A}$ tel que $F(s)$ est un isomorphisme pour s dans S , on a la factorisation suivante :

$$\begin{array}{ccc} \mathcal{C} & \xrightarrow{Q} & \mathcal{C}[S^{-1}] \\ \downarrow F & \nearrow \text{dotted arrow} & \\ \mathcal{A} & & \end{array}$$

3.4 Catégorie triangulée de motifs mixtes géométriques

On considère $K^b(\text{SmCor}/k)$ la catégorie homotopique bornée. On va localiser par rapport à une certaine classe de complexes pour avoir la propriété de Mayer-Vietoris et l'invariance homotopique. On considère donc la classe T de complexes de la forme :

$$(1) [X \times \mathbb{A}^1] \rightarrow [X] \text{ pour } X \text{ lisse séparé sur } k.$$

$$(2) [U \cap V] \xrightarrow{j_U \oplus j_V} [U] \oplus [V] \xrightarrow{j_U - j_V} [X]$$

avec U, V recouvrement ouvert de X comme ci-dessus.

On note alors $DM_{gm}^{eff}(k)$ la catégorie obtenue en quotientant $K^b(\text{SmCor}/k)$ par la sous catégorie épaisse \bar{T} minimale contenant T et en prenant ensuite l'enveloppe pseudo-abélienne. On remarquera qu'en ce qui concerne la structure triangulée, il n'est pas évident a priori que l'enveloppe pseudo-abélienne le soit aussi, mais c'est pourtant vrai d'après Balmer-Schlichting [3]. On note M_{gm} le foncteur de Sm/k vers $DM_{gm}^{eff}(k)$. On a le lemme trivial suivant :

Lemme 4 Dans $DM_{gm}^{eff}(k)$, on a le triangle distingué suivant dit de Mayer-Vietoris :

$$(1) M_{gm}([U \cap V]) \xrightarrow{j_U \oplus j_V} M_{gm}([U] \oplus [V]) \xrightarrow{j_U - j_V} M_{gm}([X]) \rightarrow M_{gm}([U \cap V][1]).$$

La structure tensorielle sur SmCor/k s'étend naturellement à $K^b(\text{SmCor}/k)$ et descend à $DM_{gm}^{eff}(k)$ par propriété universelle de la localisation. On a donc une structure naturelle de catégorie monoïdale symétrique sur $DM_{gm}^{eff}(k)$ et qui fait de M_{gm} un foncteur tensoriel.

On notera donc au passage, la remarquable identité dite de Künneth :

$$M_{gm}([X]) \otimes M_{gm}([Y]) = M_{gm}([X \times Y]).$$

On a l'objet unité $M_{gm}(Spec(k))$ que l'on notera \mathbb{Z} .

On pose $\mathbb{Z}(1) := \tilde{M}_{gm}(\mathbb{P}^1)[-2]$ où $\tilde{M}_{gm}(X)$ désigne le motif réduit de X représenté par $[X] \rightarrow [Spec(k)]$ dans $K^b(SmCor/k)$. On l'appelle le motif de Tate et on note $\mathbb{Z}(n)$ sa n -ième puissance tensorielle. De même, on pose $A(n) = A \otimes \mathbb{Z}(n)$.

Pour obtenir la définition des motifs sur k , il ne nous reste plus qu'à inverser le motif de Tate. On définit donc $DM_{gm}(k)$ la catégorie dont les objets sont les couples (A, n) avec A dans $DM_{gm}^{eff}(k)$ et $n \in \mathbb{Z}$.

De plus, $Hom((A, n), (B, m)) = \varinjlim_k Hom_{DM_{gm}^{eff}(k)}(A(k+n), B(k+m))$.

Cette fois-ci la structure tensorielle sur $DM_{gm}(k)$ est moins évidente et il est faux en général que l'on conserve la structure tensorielle en inversant un objet Q , cependant c'est effectivement le cas si l'involution de permutation sur $Q \otimes Q$ est l'identité. Pour obtenir ce résultat, on rappelle certaines propriétés des motifs purs.

Définition 16 On note $Chow^{eff}(k)$ la catégorie des motifs de Chow dont les objets sont les k -schémas lisses projectifs et les morphismes donnés par $CH^{dim X}(X \times Y)$ cycles de dimension d dans $X \times Y$ (si X connexe sinon, faire la somme sur les composantes connexes) avec comme loi de composition la même que celle des correspondances finies. On note $Chow^{eff}(k)$, l'enveloppe pseudo-abélienne. On note $Chow$ le foncteur de $SmProj/k$ vers $Chow^{eff}(k)$.

Proposition 6 On a le diagramme commutatif suivant :

$$\begin{array}{ccc} SmProj/k & \longrightarrow & Sm/k \\ \downarrow Chow & & \downarrow M_{gm} \\ Chow^{eff}(k) & \longrightarrow & DM_{gm}^{eff}(k) \end{array}$$

Preuve 5 Il faut montrer que pour X, Y des variétés projectives lisses, il y a un morphisme canonique :

$$CH^{dim X}(X \times Y) \rightarrow Hom_{DM_{gm}^{eff}(k)}(M_{gm}(X), M_{gm}(Y)).$$

On note $h_0(X, Y)$ le conoyau du morphisme $Cor(X \times \mathbb{A}^1, Y) \rightarrow Cor(X, Y)$ donné par la différence des restrictions de $X \times 0$ et $X \times 1$.

On a alors que le morphisme évident $Cor(X, Y) \rightarrow Hom_{DM_{gm}^{eff}(k)}(M_{gm}(X), M_{gm}(Y))$ se factorise par $h_0(X, Y)$. Or, on a d'après [11] un morphisme canonique $Cor(X, Y) \rightarrow CH^{dim X}(X \times Y)$ qui est un isomorphisme.

On déduit donc de la proposition ci-dessus et du fait correspondant dans les motifs de Chow que l'involution de permutation est l'identité. On a donc obtenu le corollaire suivant.

$DM_{gm}(k)$ est une catégorie triangulée tensorielle sur k .

On a la théorème naturel sur $DM_{gm}^{eff}(k)$:

Théorème 3 (Voevodsky, [32], 4.3.1)

(i) Pour tous M, N dans $DM_{gm}^{eff}(k)$, l'homomorphisme canonique :

$$Hom_{DM_{gm}^{eff}(k)}(M, N) \rightarrow Hom_{DM_{gm}^{eff}(k)}(M(1), N(1))$$

est un isomorphisme.

(ii) Le foncteur $i : DM_{gm}^{eff}(k) \rightarrow DM_{gm}(k)$ est un foncteur pleinement fidèle.

On a également une formule pour le fibré projectif.

Proposition 7 Soit X un k -schéma lisse, \mathcal{E} un fibré vectoriel sur X , on a un isomorphisme canonique dans $DM_{gm}^{eff}(k)$:

$$M_{gm}(\mathbb{P}(E)) = \bigoplus_{n \geq dim E - 1} M_{gm}(X)(n)[2n]$$

Preuve 6 On suppose $d = dim E > 0$. Soit $\mathcal{O}(1)$ le faisceau inversible sur $\mathbb{P}(E)$. Par [31], Cor 3.4.3, il définit un morphisme $\tau_1 : M_{gm}(\mathbb{P}(E)) \rightarrow \mathbb{Z}(1)[2]$. Pour $n \geq 0$, on pose τ_n la composition :

$$M_{gm}(\mathbb{P}(E)) \xrightarrow{M_{gm}(\Delta)} M_{gm}(\mathbb{P}(E)^n) = M_{gm}(\mathbb{P}(E)^{\otimes n}) \rightarrow \mathbb{Z}(n)[2n].$$

Soit alors σ_n la composition :

$$M_{gm}(\mathbb{P}(E)) \xrightarrow{M_{gm}(\Delta)} M_{gm}(\mathbb{P}(E)) \otimes M_{gm}(\mathbb{P}(\mathcal{E})) \xrightarrow{q^{\otimes \tau_n}} M_{gm}(X)(n)[2n].$$

où $q : M_{gm}(\mathbb{P}(E)) \rightarrow M_{gm}(X)$ induit par le morphisme structural. On a alors un morphisme :

$$\Sigma = \bigoplus \sigma_n : M_{gm}(\mathbb{P}(E)) \rightarrow \bigoplus_{n \geq dim E - 1} M_{gm}(X)(n)[2n].$$

Montrons que c'est un isomorphisme. D'abord Σ est fonctoriel par rapport à X . En faisant une récurrence sur le nombre d'ouverts dans un recouvrement trivialisant de E , on se ramène au cas où le fibré vectoriel est trivial. Dans ce cas, Σ est le produit fibré du fibré trivial sur $\text{Spec}(k)$ et $\text{Id}_{M_{gm}(X)}$. On a donc à le faire pour le cas du spectre d'un corps et dans ce cas-là, c'est comme dans [32].

3.5 Extension aux variétés singulières

Ce paragraphe ne nous sera pas utile pour la suite, néanmoins, il indique comment on passe de la catégorie des k -schémas lisses aux k -schémas quelconques modulo la résolution des singularités pour le corps de base k , ce qui concerne donc que la caractéristique zéro pour le moment, et peut-être en toute caractéristique avec les travaux récents de Kawanoue et Matsuki [18], [19].

L'objectif est d'étendre le foncteur $M_{gm} : \text{Sm}/k \rightarrow DM_{gm}^{eff}(k)$ en un foncteur $M_{gm} : \text{Var}/k \rightarrow DM_{gm}^{eff}(k)$. Le foncteur en question vérifiera les propriétés suivantes :

- (1) $M_{gm}([X]) \otimes M_{gm}([Y]) = M_{gm}([X \times Y])$ (structure tensorielle).
- (2) $M_{gm}([X \times \mathbb{A}^1]) = M_{gm}([X])$ (invariance homotopique).
- (3) $M_{gm}([U \cap V]) \xrightarrow{j_U \oplus j_V} M_{gm}([U] \oplus [V]) \xrightarrow{j_U \xrightarrow{-} j_V} M_{gm}([X]) \rightarrow M_{gm}([U \cap V][1])$ (Mayer-Vietoris).
- (4) $M_{gm}(p^{-1}(Z)) \rightarrow M_{gm}(Z) \oplus M_{gm}(X_Z) \rightarrow M_{gm}(X) \rightarrow M_{gm}(p^{-1}(Z))[1]$ (éclatement).
- (5) $M_{gm}(\mathbb{P}(\mathcal{E})) = \oplus M_{gm}([X])(n)[2n]$ (formule pour le fibré projectif).

On a également des suite de Gysin, des motifs à supports compacts et une théorie de la dualité associée.

On note par $DM_{gm}^{eff}(k)$ la sous-catégorie pleine de $D^-(Sh_{Nis}(\text{SmCor}/k))$ qui consiste en les complexes qui sont homotopiquement invariants. Commençons par rappeler quelques propriétés générales des préfaisceaux avec transferts. Soit Δ^\bullet l'objet cosimplicial standard de Sm/k . Pour tout préfaisceau F sur Sm/k , soit $C_*(F)$ le complexe de préfaisceaux de la forme $C_n(F)(X) = F(X \times \Delta^n)$ avec les différentielles données par les sommes alternées des morphismes qui correspondent aux codégénérescences de Δ^n . On a facilement que si F est un préfaisceau avec transferts pour sa topologie favorite alors il en est de même pour son complexe simplicial associé. On note $h_i^{Nis}(F)$ les faisceaux de cohomologie $H^{-i}(C_*(F))$.

Proposition 8 *Pour tout faisceau avec transferts F sur k , les faisceaux $h_i^{Nis}(F)$ sont invariants par homotopie.*

Preuve 7 *cf Th 13.8,[21].*

Soit X un k -schéma de type fini. On définit le préfaisceau $L(X) : Sm/k \rightarrow Ab$ avec $L(X)(U)$ le groupe abélien libre engendré par les composantes irréductibles Z de $X \times U$ qui sont quasi-finies sur U et dominantes sur une composante connexe de U . Pour X un k -schéma de type fini, on écrit $C_*(X)$ à la place de $C_*(L(X))$. D'après la proposition ci-dessus, on a alors un foncteur $L : Var/k \rightarrow DM_-^{eff}(k)$. Nous allons voir que ce foncteur se factorise par $DM_{gm}^{eff}(k)$.

Proposition 9 *Soit X un k -schéma de type fini, on suppose $X = U \cup V$ avec U, V ouverts. Alors on a un triangle distingué de Mayer-Vietoris :*

$$C_*(U \cap V) \rightarrow C_*(U) \oplus C_*(V) \rightarrow C_*(X) \rightarrow C_*(U \cap V)[1]$$

Preuve 8 *Il nous suffit de vérifier que l'on a suite exacte de faisceaux Nisnevich :*

$$0 \rightarrow L(U \cap V) \rightarrow L(U) \oplus L(V) \rightarrow L(X) \rightarrow L(U \cap V)[1] \rightarrow 0$$

On aura besoin du résultat suivant donné dans sous une forme légèrement différente dans [31] et démontrée dans [32].

Théorème 4 *Soit k un corps admettant la résolution des singularités et F un préfaisceau avec transferts sur Sm/k tel que tout pour schéma lisse X et toute section $\phi \in F(X)$ il y a un morphisme propre birationnel $p : X' \rightarrow X$ avec $F(p)(\phi) = 0$ alors le complexe $C_*(F)$ est quasi-isomorphe à zéro.*

On a alors le corollaire suivant qui fournit le triangle distingué d'éclatement :

Proposition 10 *Soit un carré cartésien entre k -schémas de type fini de la forme :*

$$\begin{array}{ccc} p^{-1}(Z) & \longrightarrow & X_Z \\ \downarrow & & \downarrow p \\ Z & \longrightarrow & X \end{array}$$

avec les conditions suivantes :

(i) $p : X_Z \rightarrow X$ est propre et le morphisme $Z \rightarrow X$ est une immersion fermée.

(ii) Le morphisme $p^{-1}(X - Z) \rightarrow X$ est un isomorphisme. Alors il y a un triangle distingué dans $DM_-^{eff}(k)$ de la forme :

$$C_*(p^{-1}(Z)) \rightarrow C_*(Z) \oplus C_*(X_Z) \rightarrow C_*(X) \rightarrow C_*(p^{-1}(Z))[1].$$

Preuve 9 Il suffit de voir que la suite de préfaisceaux :

$$0 \rightarrow L(p^{-1}(Z)) \rightarrow L(Z) \oplus L(X_Z) \rightarrow L(X)$$

est exacte et que le préfaisceau quotient vérifie $L(X)/(L_*(Z) \oplus L_*(X_Z))$ les conditions du théorème.

On a alors comme corollaire que pour tout k -schéma de type fini X , k admettant la résolution des singularités $C_*(X)$ est dans $DM_{gm}^{eff}(k)$.

On a de plus les propositions suivantes qui découlent formellement de la proposition ci-dessus et du cas projectif lisse et du triangle distingué d'éclatement.

Proposition 11 (i) $C_*(X) \otimes C_*(Y) = C_*(X \times Y)$.

(ii) $C_*(X \times \mathbb{A}^1) = C_*(X)$.

On veut décrire maintenant les groupes de morphismes $Hom(C_*(X), C_*(F))$ pour X un k -schéma de type fini et F un faisceau Nisnevich avec transferts. Dans le cas de X schéma lisse, on a d'après [31] qu'il est isomorphe à $\mathbb{H}_{Nis}(X, C_*(F))$, mais il se trouve que dans le cas singulier, contrairement à ce qu'on pourrait penser, on va obtenir quelque chose de différent. Il nous faut donc une nouvelle topologie de Grothendieck, dite cdh qui va nous donner les résultats voulus.

Définition 17 La topologie cdh sur Sch/K est la topologie de Grothendieck engendré par la pré-topologie suivante :

(1) les recouvrements Nisnevich,

(2) les recouvrements de la forme $X' \coprod Z \xrightarrow{p} X$ avec p un morphisme propre et i une immersion fermée et tel que $p^{-1}(X - i(Z)) \rightarrow X - i(Z)$ est une isomorphisme.

On note π le morphisme de sites canonique vers le site Nisnevich. Le théorème suivant se déduit du théorème 3 ci-dessus :

Théorème 5 (32) X un k -schéma de type fini et F un préfaisceau avec transferts sur Sm/k . Alors pour tout $i \geq 0$ il y a des isomorphismes canoniques :

$$Hom(C_*(X), C_*(F)[i]) = \mathbb{H}_{cdh}^i(X, C_*(\pi^*F)) = \mathbb{H}_{cdh}^i(X, \pi^*(C_*(F))).$$

En particulier, si X est lisse on a un isomorphisme canonique :

$$\mathbb{H}_{cdh}^i(X, C_*(\pi^*F)) = \mathbb{H}_{cdh}^i(X, \pi^*(C_*(F))) = \mathbb{H}_{Nis}^i(X, C_*(F))$$

On en déduit le corollaire suivant :

Corollaire : Si k admet la résolution des singularités et X un k -schéma de type fini. Soit E un fibré vectoriel sur X . On note $p : \mathbb{P}(E) \rightarrow X$ le fibré projectif associé. Alors un isomorphisme canonique dans $DM_-^{eff}(k)$ de la forme :

$$C_*(\mathbb{P}(E)) = \bigoplus_{n=0}^{\dim E-1} C_*(X)(n)[2n].$$

Preuve 10 Le théorème précédent nous donne un morphisme canonique :

$$C_*(\mathbb{P}(E)) = \bigoplus_{n=0}^{\dim E-1} C_*(X)(n)[2n].$$

L'isomorphisme suit alors de la résolution des singularités, du triangle distingué pour un éclatement et la proposition 8.

4 Localisation des correspondances finies

Les démonstrations de toutes les propositions de ce paragraphe sont très techniques et fastidieuses, on renvoie donc à [15bis]. Soit X un schéma. On notera $X_x^h := Spec(\mathcal{O}_{X,x}^h)$ où $\mathcal{O}_{X,x}^h$ désigne l'hensélisé de $\mathcal{O}_{X,x}$ et $X^h = \coprod_{x \in X} X_x^h$. Et on note l_x^h le morphisme de X_x^h vers X . On a un morphisme naturel de :

$$\bigoplus Cor(\mathcal{Y}, X_x^h) \xrightarrow{\sum_{x \in X} [l_x^h]_{\circ-}} Cor(\mathcal{Y}, X) \quad (1)$$

On a la proposition suivante :

Lemme 5 (Corollaire 2.12 [15 bis]) X un S -schéma, \mathcal{Y} un schéma local hensélien. Il existe un morphisme canonique :

$$Cor(\mathcal{Y}, X) \xrightarrow{\sigma_{\mathcal{Y}, X}} \bigoplus_{x \in X} Cor(\mathcal{Y}, X_x^h)(2)$$

avec les propriétés suivantes :

(a) $\sigma_{\mathcal{O}, X^h}$ est une section de (1) telle que le carré suivant :

$$\begin{array}{ccc} Cor(\mathcal{O}, X) & \xrightarrow{\sigma_{\mathcal{O}, X^h}} & \bigoplus Cor(\mathcal{O}, X_x^h) \\ \downarrow Cor(\alpha, X) & & \downarrow Cor(\alpha, X_x^h) \\ Cor(\mathcal{O}', X) & \xrightarrow{\sigma_{\mathcal{O}', X^h}} & \bigoplus Cor(\mathcal{O}', X_x^h) \end{array}$$

soit commutatif pour tout schéma local hensélien \mathcal{O}' et toute correspondance finie $\alpha \in Cor(\mathcal{O}', \mathcal{O})$.

(b) Pour $g : \mathcal{Y} \rightarrow X$ un S -morphisme suivant le point x de l'image $[g]$ par (2) est donné par :

$$\sigma_{\mathcal{O}, X}([g])_x = \begin{cases} [\bar{g}] & \text{si } x = \tau \\ 0 & \text{sinon} \end{cases}$$

τ étant l'image du point fermé de \mathcal{Y} et \bar{g} le morphisme déduit de g .

$$\begin{array}{ccc} & \overset{g}{\curvearrowright} & \\ Spec(\mathcal{Y}) & \xrightarrow{\bar{g}} & X_x^h \xrightarrow{l_{X,x}^h} X \end{array}$$

On en déduit donc qu'étant donnée une correspondance $\alpha \in Cor(X, Y)$, à chaque point x (resp y) de X (resp Y), on a une correspondance finie $\alpha_{x,y}$ de $Cor(X_x^h, Y_y^h)$ donnée par : $\alpha_{x,y} := \sigma_{X_x^h, Y}(\alpha \circ [l_x^h])_y$. On obtient alors la décomposition locale suivante :

$$\alpha \circ [l_{X,x}^h] = \sum_{y \in Y} [l_{Y,y}^h] \circ \alpha_{x,y}$$

Dans cette proposition, on étudie le comportement de cette décomposition par rapport à la composition et au produit tensoriel des correspondances.

Proposition 12 (Prop 2.12)

(i) Soit α, β dans $Cor(X, Y)$ et $Cor(Y, Z)$, on a pour tout point $x \in X$ et $z \in Z$ l'égalité :

$$(\beta \circ \alpha)_{x,z} = \sum_{y \in Y} \beta_{y,z} \circ \alpha_{x,y}$$

(ii) Soient X, Y, X', Y' des S -schémas, $\alpha \in \text{Cor}(X, X')$ et $\beta \in \text{Cor}(Y, Y')$. Pour tout point e de $X \times Y$, tout point x' de X' et y' de Y' .

Par la propriété universelle de l'hensélisation, étant fixé un point e de $X \times Y$ d'image x et y , on a une factorisation :

$$\begin{array}{ccc} (X \times Y)_e^h & \xrightarrow{m_{X,Y,e}} & X_x^h \times Y_y^h \\ \downarrow & & \downarrow \\ (X \times Y)^h & \xrightarrow{m_{X,Y}} & X \times Y \end{array}$$

où $m_{X,Y}$ est donnée par le diagramme suivant :

$$\begin{array}{ccc} (X \times Y)^h & \xrightarrow{m_{X,Y}} & X^h \times Y^h \times l_Y^h \\ & \searrow l_{X \times Y}^h & \downarrow l_X^h \\ & & X \times Y \end{array}$$

on a alors l'égalité :

$$(\alpha_{x,x'} \otimes \beta_{y,y'}) \circ [m_{X,Y,e}] = \sum_{e'} [m_{X',Y',e'}] \circ (\alpha \otimes \beta)_{e,e'}$$

dans $\text{Cor}((X \times Y)_e^h, X_{x'}^h \times Y_{y'}^h)$ où e' point de $X' \times Y'$ d'image (x', y') .

Etant donné un S -schéma X et un système projectif de S -schémas $(U_\lambda)_{\lambda \in \Lambda}$ avec Λ une catégorie filtrante. On pose $\mathcal{U} = \varprojlim U_\lambda$ et $\text{Cor}\{\mathcal{U}, X\} := \varinjlim_{\lambda \in \Lambda^{op}} \text{Cor}(U_\lambda, X)$. Si F est un préfaisceau, on définit $F\{\mathcal{U}\} := \varinjlim_{\lambda \in \Lambda^{op}} F(U_\lambda)$.

Proposition 13 (Prop 2.7) Etant donné un S -schéma X et un système projectif de S -schémas $(U_\lambda)_{\lambda \in \Lambda}$ de limite projective \mathcal{U} .

Il existe d'unique morphismes :

$$\{\sigma\}_{\mathcal{U}, X, n}^h : \mathbb{Z}_{tr}[(X^h)_X^n]\{\mathcal{U}\} \rightarrow \mathbb{Z}_{tr}[(X^h)_X^{n+1}]\{\mathcal{U}\} \quad n \geq 0$$

satisfaisant les propriétés suivantes :

(i) (Homotopie) Pour tout n , on a les relations :

$$d_{n+1} \circ \{\sigma\}_{\mathcal{U}, X, n}^h + \{\sigma\}_{\mathcal{U}, X, n-1}^h \circ d_n = id.$$

(ii) On a un diagramme commutatif :

$$\begin{array}{ccc}
\mathbb{Z}_{tr}[(X^h)_X^n]\{\mathcal{U}\} & \xrightarrow{\{\sigma\}_{\mathcal{U},X,n}^h} & \mathbb{Z}_{tr}[(X^h)_X^{n+1}]\{\mathcal{U}\} \\
\downarrow & & \downarrow \\
\mathbb{Z}_{tr}[(X^h)_X^n](\mathcal{U}) & \xrightarrow{\sigma_{\mathcal{U},X,n}^h} & \mathbb{Z}_{tr}[(X^h)_X^{n+1}](\mathcal{U})
\end{array}$$

Avec les mêmes notations que ci-dessus, on obtient que pour $\alpha \in c_S\{\mathcal{U}, X\}$, il existe un unique élément $\{\alpha\}_x$ de $c_S\{\mathcal{U}, X\}$ verifiant :

$$\alpha := \sum [l_{X,x}^h] \circ \{\alpha\}_x$$

Désignons par $\{l\}_{X,x}^h$ l'élément de $c_S\{X_x^h, X\}$ induit par les morphismes $U \rightarrow X$ pour U voisinage Nisnevich de x . Une correspondance finie $\alpha \in c_S(X, Y)$ admet une décomposition locale raffinée de la forme :

$$\alpha \circ \{l\}_{X,x}^h = \sum [l_{Y,y}^h] \circ \{\alpha\}_{x,y}$$

où $\{\alpha\}_{x,y} \in Cor\{X_x^h, Y_y^h\}$.

On a les propositions analogues pour la décomposition raffinée.

Proposition 14 (*Prop 2.17*)

(i) Soit α, β dans $Cor(X, Y)$ et $Cor(Y, Z)$, on a pour tout point $x \in X$ et $z \in Z$ l'égalité :

$$\{\beta \circ \alpha\}_{x,z} = \sum_{y \in Y} \beta_{y,z} \circ \{\alpha\}_{x,y}.$$

(ii) Soient X, Y, X', Y' des S -schémas, $\alpha \in Cor(X, X')$ et $\beta \in c_S(Y, Y')$. Pour tout point e de $X \times Y$, tout point x' de X' et y' de Y' .

On a alors l'égalité :

$$(\{\alpha\}_{x,x'} \otimes \{\beta\}_{y,y'}) \circ [m_{X,Y,e}] = \sum_{e'} [m_{X',Y',e'}] \circ \{\alpha \otimes \beta\}_{e,e'}$$

où e' point de $X' \times Y'$ d'image (x', y') dans $Cor((X \times Y)_e^h, X_{x'}^h \times Y_{y'}^h)$.

5 Résolution de Godement

Dans la suite de cette section nous fixons une catégorie $S = Sch/S, Var/S$ ou Sm/S , tous les préfaisceaux sont définis sur S et nous renvoyons à la définition 1.10 pour la notion de faisceaux avec transferts.

A nouveau, on renvoie à Ivorra [15 bis]. Rappelons qu'une monade est la donnée d'un endofoncteur M dans une catégorie \mathcal{C} et de transformations naturelles $\mu : MM \rightarrow M$ et $\eta : id \rightarrow M$ avec les diagrammes commutatifs suivants :

$$\begin{array}{ccc} M & \xrightarrow{\eta M} & MM & \xleftarrow{M\eta} & M \\ & \searrow id & \downarrow \mu & \swarrow id & \\ & & M & & \end{array}$$

$$\begin{array}{ccc} MMM & \xrightarrow{M\mu} & MM \\ \downarrow \mu M & & \downarrow \mu \\ MM & \xrightarrow{\mu} & M \end{array}$$

A partir d'une monade (M, μ, η) , à chaque objet C de \mathcal{C} , on construit un objet cosimplicial $B^\bullet(M, C)$ de \mathcal{C} avec une coaugmentation de C dans ce dernier.

Les n -cosimplices sont donnés par $M^{n+1}C$ de \mathcal{C} , les cofaces par les morphismes :

$$\delta_i^{n-1} := M^i \eta M^{n-i} : M^n C \rightarrow M^{n+1} C \quad i = 0 \dots n$$

et les codégénérescences par :

$$\sigma_i^n := M^i \eta M^{n-1-i} : M^{n+1} C \rightarrow M^n C \quad i = 0 \dots n - 1.$$

Nous allons maintenant appliquer les résultats concernant la localisation Nisnevich des correspondances finies que nous avons obtenus précédemment. Dans la suite, nous désignons par s_x la composante suivant le point x d'un élément s du produit

$$\prod_{x \in X} F\{X_x^h\}.$$

Par définition $F\{X_x^h\}$ correspond à la fibre Nisnevich de F au point x . Désignons \mathcal{G}_{Nis} la monade de la catégorie des faisceaux Nisnevich définie de la manière suivante :

(i) Les sections sur X du faisceau $\mathcal{G}_{Nis}F$ sont donnés par :

$$\mathcal{G}_{Nis}F(X) = \prod_{x \in X} F\{X_x^h\}$$

les morphismes structuraux étant déterminés par les égalités :

$$[\mathcal{G}_{Nis}F(p)(s)]_x = F\{\{p\}_x^h\}(s_{p(x)})$$

avec x un point de X , $p : X \rightarrow Y$ et $s \in G_{Nis}F(Y)$.

(ii) Le morphisme structural η_F est donné par :
 $[\eta_F(s)]_x = F\{l_x^h\}(s)$ par un élément s de $F(X)$.

(iii) Le morphisme structural μ_F coïncide avec la projection sur les composantes associés aux points fermés des X_x^h via le morphisme naturel :
 $(\mathcal{G}_{Nis}G_{Nis}F)(X) = \prod_{x \in X} \prod_{z \in X_x^h} F\{(X_x^h)_z^h\}$.

La résolution cosimpliciale de Godement est par définition le faisceau Nisnevich simplicial : $\mathcal{G}^\bullet F = B^\bullet(\mathcal{G}_{Nis}, F)$. On note ensuite $G_{Nis}^\bullet F$ le complexe qui s'en déduit dont les différentielles sont les sommes alternées des cofaces.

Proposition 15 *La famille formée des foncteurs fibres $F \rightarrow F\{X_x^h\}$ est conservative et le morphisme d'augmentation $F \rightarrow G_{Nis}^\bullet F$ est un quasi-isomorphisme de complexes de faisceaux Nisnevich.*

Preuve 11 cf [20] Partie III.

Proposition 16 ([15bis] Prop 3.8) *Il existe une monade canonique \mathcal{G}_{Nis}^{tr} de la catégorie $Sh_{Nis}^{tr}(\mathcal{S})$ rendant le diagramme suivant commutatif :*

$$\begin{array}{ccc} Sh_{Nis}^{tr}(\mathcal{S}) & \longrightarrow & Sh_{Nis}(\mathcal{S}) \\ \downarrow \mathcal{G}_{Nis}^{tr} & & \downarrow \mathcal{G}_{Nis} \\ Sh_{Nis}^{tr}(\mathcal{S}) & \longrightarrow & Sh_{Nis}(\mathcal{S}) \end{array}$$

Cette proposition assure que le complexe $G_{Nis}^\bullet F$ est canoniquement muni de transferts. Il ne nous reste plus qu'à voir que la résolution de Godement est compatible à la structure tensorielle.

Définition 18 *On appelle faisceau Nisnevich quasi-monoïdal symétrique un faisceau Nisnevich F avec pour tout schéma X, Y un morphisme associatif symétrique :*

$$\circlearrowleft_{X,Y}^F : F(X) \otimes F(Y) \rightarrow F(X \times Y) \text{ fonctoriel.}$$

On note $Sh_{Nis,\otimes}(\mathcal{S})$ la catégorie de tels faisceaux. On a les mêmes définitions pour les faisceaux Nisnevich avec transferts.

La monade \mathcal{G}_{Nis} induit une monade sur $Sh_{Nis,\otimes}(\mathcal{S})$.

En effet, on a :

$\circlearrowleft_{X,Y}^{\mathcal{G}_{Nis}F} : \mathcal{G}_{Nis}F(X) \otimes \mathcal{G}_{Nis}F(Y) \rightarrow \mathcal{G}_{Nis}F(X \times Y)$
donnés par les relations $[\circlearrowleft_{X,Y}^F(s \otimes t)] = F\{\{m\}_{X,Y,e}^h\}[\circlearrowleft_{X_x,Y_y}^F(s_x \otimes t_y)]$ avec $s \in \mathcal{G}_{Nis}F(X)$,
 $t \in \mathcal{G}_{Nis}F(Y)$ et e un point du produit de $X \times Y$ de projection x et y .

On a alors la proposition analogue :

Proposition 17 ([15bis] Prop 3.11)

\mathcal{G}_{Nis}^{tr} induit une monade sur la catégorie $Sh_{Nis,\otimes}^{tr}(\mathcal{S})$ rendant le diagramme suivant commutatif :

$$\begin{array}{ccc} Sh_{Nis,\otimes}^{tr}(\mathcal{S}) & \longrightarrow & Sh_{Nis}(\mathcal{S}) \\ \downarrow \mathcal{G}_{Nis}^{tr} & & \downarrow \mathcal{G}_{Nis} \\ Sh_{Nis,\otimes}^{tr}(\mathcal{S}) & \longrightarrow & Sh_{Nis}(\mathcal{S}) \end{array}$$

6 Construction du foncteur de réalisation

6.1 Complexe de de Rham logarithmique

On rappelle la définition du complexe de de Rham logarithmique suivant [7]. Soit k un corps de caractéristique 0. D est appelé diviseur à croisements normaux, si le morphisme d'inclusion est localement isomorphe pour la topologie étale à la réunion d'hyperplans de coordonnées dans \mathbb{A}^n . Soit donc D un tel diviseur dans \bar{X} un schéma lisse séparé sur k . On pose $X = \bar{X} - D$ et j l'inclusion de X dans \bar{X} .

On désigne par $\Omega_{\bar{X}}^1(\log D)$ le sous \mathcal{O} -module de $j_*\Omega_X^1$ engendré par $\Omega_{\bar{X}}^1$ et par les $\frac{dz_i}{z_i}$ pour z_i une équation locale d'une composante irréductible locale de Y .

Par définition, le faisceau des p -formes différentielles logarithmiques sur \bar{X} le long de D est $\Lambda^p \Omega_{\bar{X}}^1(\log D)$. On note $\Omega_{\bar{X}}^\bullet(\log D)$ le complexe de de Rham logarithmique de \bar{X} le long de D .

Le complexe de de Rham logarithmique est contravariant par rapport au couple (X, \bar{X}) , i-e à un diagramme de la forme :

$$\begin{array}{ccc} X & \longrightarrow & \bar{X} \\ \downarrow & & \downarrow \\ Y & \longrightarrow & \bar{Y} \end{array}$$

On désigne par $W_n(\Omega_{\bar{X}}^\bullet(\log D))$ le sous module de $\Omega_{\bar{X}}^\bullet(\log D)$ engendré par les combinaisons linéaires de formes différentielles de la forme :

$$\alpha \wedge \frac{dz_{i(1)}}{z_{i(1)}} \wedge \frac{dz_{i(2)}}{z_{i(2)}} \wedge \dots \wedge \frac{dz_{i(m)}}{z_{i(m)}} \quad (m \leq n)$$

avec $z_{i(j)}$ équations locales de composantes locales distinctes Y_j de Y et α sans pôles.

Ce complexe est bifiltré :

1. par la filtration de Hodge F telle que $F^p(\Omega_{\bar{X}}^\bullet(\log D)) = \sigma_{\geq p}\Omega_{\bar{X}}^\bullet(\log D)$ où $\sigma_{\geq p}$ est le tronqué bête défini par : $\sigma_{\geq p}(K^\bullet)^n = \begin{cases} 0 & \text{si } n < p \\ K^n & \text{si } n \geq p \end{cases}$.
2. par la filtration croissante par le poids W , donnée par les sous-complexes $W_n(\Omega_{\bar{X}}^\bullet(\log D))$.

Proposition 18

- (i) $\mathbb{H}(\bar{X}, \Omega_{\bar{X}}^\bullet(\log D))$ coïncide avec $H(X, \mathbb{C})$.
- (ii) On a un isomorphisme canonique $H_{DR}(X \times \mathbb{A}^1/k) \rightarrow H_{DR}(X/k)$ où le morphisme est donné par le pullback des formes différentielles $pr_1^* : pr_1^{-1}\Omega_X^\bullet \rightarrow \Omega_{X \times \mathbb{A}^1}^\bullet$.
- (iii) La cohomologie de de Rham vérifie Mayer-Vietoris.

Preuve 12 (i) cf lemme 3.14 [6].

(iii) résulte des propriétés d'hypercohomologie.

(ii) Soit $p = pr_1 : X \times \mathbb{A}_k^1 \rightarrow X$. Montrons que $pr^* : \Omega_X^\bullet \rightarrow pr_*\Omega_{X \times \mathbb{A}_k^1}^\bullet$ est un quasi-isomorphisme. En effet, comme l'application p est affine, on peut calculer $H_{DR}^p(X \times \mathbb{A}^1/k)$, comme la cohomologie du complexe simple associé au complexe double de de Rham-Cech de $\Omega_{X \times \mathbb{A}^1}^\bullet$ associé au recouvrement affine de $p^{-1}(U)$ de $X \times \mathbb{A}_k^1$ où U est un recouvrement affine de X .

Or ce complexe simple n'est rien d'autre que le complexe simple associé au complexe double de de Rham-Cech de $p_*\Omega_{X \times \mathbb{A}^1}^\bullet$, et donc associé au recouvrement affine de U de X , et donc c'est aussi l'hypercohomologie du complexe $p_*\Omega_{X \times \mathbb{A}^1}^\bullet$ sur X . Si on a montré que ces complexes sont quasi-isomorphes via p^* à Ω_X^\bullet , on aura alors que c'est un isomorphisme en cohomologie de de Rham.

Soit $\alpha \in p_*\Omega_{X \times \mathbb{A}^1}^l$. Alors α s'écrit sous la forme :

$$\alpha = \alpha' + dt \wedge \beta$$

où α' et β sont des sections de $p_*\Omega_{X \times \mathbb{A}^1}^l$, $p_*\Omega_{X \times \mathbb{A}^1}^{l-1}$ respectivement.

β s'écrit localement : $\beta = \sum t^i \beta_i, i < k + 1$ où β_i sont des sections de Ω_X^{l-1} . Comme car $k = 0$, on a $t^i = \frac{1}{i+1} dt^{i+1}$, et donc :

$$t^i dt \wedge \beta_i = d\left(\frac{1}{i+1} t^{i+1} \beta_i\right) - \frac{1}{i+1} t^{i+1} d\beta_i.$$

Il en résulte que toute section $\alpha \in p_*\Omega_{X \times \mathbb{A}^1}^l$ est modulo une forme exacte, dans $p_*\Omega_{X \times \mathbb{A}^1}^l$. Soit maintenant $\alpha = \sum t^i \alpha_i \in p_*\Omega_X^l$ telle que $d\alpha = 0$.

$$\sum t^i d\alpha_i + \sum it^{i-1} dt \wedge \alpha_i = 0$$

Comme car $k = 0$, on a que $\alpha_i = 0$ pour $i > 0$ et $\alpha \in \Omega_X^l$. Ceci montre la surjectivité en cohomologie. L'injectivité procède de la même manière.

Le cas qui nous intéresse ici est si on prend X schéma lisse séparé sur k . On a alors par Hironaka [1], qu'il existe \bar{X} une compactification projective lisse telle que $\bar{X}-X$ est un diviseur à croisements normaux.

6.2 Construction de la réalisation

Suivant Deligne-Goncharov [10], la construction se décompose selon plusieurs étapes. On considère X^\bullet un complexe borné d'objets de $\text{SmCor}(k)$.

On considère une compactification lisse de chacun des X^n et on montre que le complexe X^\bullet se prolonge au complexe \bar{X}^\bullet .

Ensuite, on prend pour chaque \bar{X}^n le complexe de de Rham logarithmique, et on va considérer un complexe K^\bullet qui représente $R\Gamma(\bar{X}^n, \Omega_{\bar{X}}^\bullet(\log D^n))$ qui est lui-même bifiltré ; pour cela la résolution de Godement fera l'affaire. On en déduira un complexe double bifiltré qui nous fournira la réalisation voulue à quelques détails près. Enfin, il s'agit de passer à la catégorie des motifs mixtes et d'ajouter la structure tensorielle.

Théorème 6 On a un foncteur de réalisation $R_{DR} : \left\{ \begin{array}{l} \text{SmCor}(k)^{op} \longrightarrow D^+(k_{\text{bifilt}}) \\ X \longrightarrow \text{Dec}R\Gamma(\bar{X}, \Omega_{\bar{X}}^\bullet(\log D)) \end{array} \right\}$

qui s'étend en un foncteur triangulé tensoriel sur $DM_{gm}(k)$.

Nous utilisons la topologie Nisnevich (étale fonctionne aussi), essentiellement parce que les résultats établis pour la monade de Godement marchent pour ces deux topologies et non pour la topologie de Zariski. L'hypercohomologie du complexe de de Rham est la même. En effet, on rappelle le résultat suivant :

Proposition 19 Soit \mathcal{F} un faisceau quasi-cohérent sur X_{zar} , il induit un faisceau \mathcal{F}_{Nis} , on a alors que $H^*(X, \mathcal{F}) \rightarrow H^*(X_{Nis}, \mathcal{F}_{Nis})$ est un isomorphisme.

Preuve 13 SGA 4 Exp VII Prop 4.3, où c'est démontré pour la topologie étale et donc en particulier pour celle de Nisnevich.

Avec cette proposition, l'hypercohomologie du complexe de de Rham s'en déduit par la suite spectrale standard.

On commence maintenant avec le lemme suivant qui nous assure que les correspondances finies se prolongent aux compactifications.

Lemme 6 *Soit $\Gamma : X \rightarrow Y$ dans $SmCor(k)$. Si \bar{Y} est une compactification projective lisse de Y , il existe \bar{X} une compactification projective lisse telle que Γ se prolonge de manière unique en $\bar{\Gamma}$ de \bar{X} vers \bar{Y} .*

Preuve 14 *On a seulement besoin de traiter le cas où X est connexe et Γ est un sous-schéma fermé de $X \times Y$, intègre et fini dominant sur X . On note alors d le degré de Γ sur X . D'après la proposition 3, on a alors un morphisme de schémas $\gamma : X \rightarrow Sym^d(Y)$. Par Hironaka [13], il existe \bar{X} une compactification projective lisse telle que γ se prolonge en $\bar{\gamma} : \bar{X} \rightarrow Sym^d(\bar{Y})$. Pour une telle compactification, on prend l'adhérence de Γ dans $\bar{X} \times \bar{Y}$. Celle-ci est bien finie dominante sur \bar{X} et fournit le prolongement cherché. L'unicité vient du fait que \bar{X} est intègre et $Sym^d(\bar{Y})$ séparé.*

On veut désormais montrer que le complexe de de Rham est canoniquement muni de transferts, puis nous passerons après au cas logarithmique.

Proposition 20 *Soit $\Gamma : X \rightarrow Y$ dans $SmCor(k)$.*

1. *On a alors un morphisme de complexes de faisceaux sur le support de Γ :*

$$[\Gamma] : pr_2^* \Omega_Y^\bullet \rightarrow pr_1^* \Omega_X^\bullet.$$
2. *Le morphisme défini ci-dessus est fonctoriel sur $SmCor(k)$.*

Preuve 15 *Pour démontrer cette assertion, on peut se restreindre au cas où X et Y sont affines.*

Soit B une A -algèbre finie. Soient L et K leurs corps de fractions respectifs. L/K est finie séparable comme on est en caractéristique nulle. On va montrer que l'application naturelle $i : \Omega_{A/k}^\bullet \otimes_A L \rightarrow \Omega_{B/k}^\bullet \otimes_B L$ est bijective.

On remarque tout d'abord que la structure de complexe sur L sur $\Omega_{B/k}^\bullet \otimes_B L$ est donnée par :

$d(\frac{\omega}{a}) = \frac{ad\omega - da\wedge\omega}{a^2}$. De même, on met une structure de complexe sur K sur $C := \Omega_{A/k}^\bullet \otimes_A K$.

On va maintenant mettre une structure de complexe sur $C' = C \otimes_A^K L$ de telle façon que i devienne un morphisme de complexes et ensuite construire un inverse à i . Premièrement, on a comme L/K est séparable, que la différentielle $d : K \rightarrow \Omega_{A/k}^1 \otimes_A K$ s'étend en une

dérivation $d^* : L \rightarrow \Omega_{A/k}^1 \otimes^A L$. On a donc la structure que l'on voulait sur C' en posant :

$$d^*(\omega \otimes l) = l d\omega + d^*l \wedge \omega \quad (l \in L, \omega \in E).$$

Il reste à voir que i est un morphisme de complexes. Pour cela, il suffit de voir que le diagramme suivant commute :

$$\begin{array}{ccc} & \Omega_{A/k}^1 \otimes^A L & \\ d^* \nearrow & \downarrow i & \\ L & & \Omega_{B/k}^1 \otimes^B L \\ d \searrow & & \end{array}$$

Cela vient du fait que $i \circ d^*$ et d sont deux dérivations de $L \rightarrow \Omega_{B/k}^1 \otimes^B L$ et coïncident sur K . La propriété universelle de $\Omega_{A/k}^\bullet$ nous permet de construire le morphisme inverse $\lambda : \Omega_{B/k}^1 \otimes^B L \rightarrow C'$.

Lemme 7 Il existe une unique application $Tr_{B/A} : \Omega_{B/k}^\bullet \otimes^B L \rightarrow \Omega_{A/k}^\bullet \otimes^A K$ telle que :

1. $Tr_{B/A}$ est la trace usuelle de L vers K en dimension 0.
2. $Tr_{B/A}$ est $\Omega_{A/k}^\bullet$ -linéaire (i-e additive et $Tr_{B/A}(\omega \wedge \eta) = \omega \wedge Tr_{B/A}(\eta)$).

Proposition 21 $Tr_{B/A}$ est un morphisme de complexes.

Preuve 16 Supposons $z \in L$. Soit $f(z) = z^n - \sum b_i z^{n-i}$ son polynôme minimal sur K . Si $n^* = [L : K]$, alors $Tr(z) = \frac{n^*}{n} b_1$. De plus, on a $df(z) = 0$, d'où $dz = \frac{1}{f'(z)} \sum z^{n-i} db_i$. Donc par définition de Tr , $Tr(dz) = \sum Tr(\frac{z^{n-i}}{f'(z)} db_i)$, ce qui est exactement $\frac{n^*}{n} db_1$ par [26, III, §6]. Donc $Tr(dz) = dTr(z)$. Maintenant si $\eta \in \Omega_{B/k}^\bullet \otimes^B L$, $\eta = z\omega$ avec $z \in L$ et $\omega \in \Omega_{B/k}^\bullet$ par la proposition, donc $Tr(d\eta) = Tr(dz \wedge \omega + z d\omega) = dTr(z) \wedge \omega + Tr(z) d\omega = d(Tr(z)\omega) = dTr(\eta)$, ce qu'on voulait.

Proposition 22 $Tr_{B/A}$ envoie $\Omega_{B/k}^\bullet$ vers $\Omega_{A/k}^\bullet$ si A est lisse.

Preuve 17 On a déjà que $\Omega_{A/k}^n$ est projectif de type fini, comme A lisse. Comme A est normal, intègre et L/K séparable, la fermeture intégrale A' , de A dans L est une A -algèbre finie. De plus, si on prend un ouvert U , dont le complémentaire est de codimension au moins 2 dans A , le morphisme de restriction est un isomorphisme. Donc, il suffit de montrer que $Tr_{B/A}$ envoie $\Omega_{A'/k}^\bullet$ dans $\Omega_{A/k}^\bullet \otimes K$ et s'étend aux points de codimension 1 de $\text{Spec } A$. On se ramène donc au cas où A est un trait. Comme on peut faire n'importe quelle extension étale sur A , on peut supposer A strictement hensélien.

Dans ce cas-là, i-e A un trait strictement hensélien, on a :
 $A' = A[t]/(t^n - z)$ où z est un générateur de l'idéal maximal et n entier positif. Alors $dt = \frac{1}{nt^{n-1}}dz$ (car $k=0$) et le groupe de Galois de A' sur A , agit par $\sigma(t) = \zeta t$ où ζ est une racine primitive de l'unité. Donc $Tr(t^m) = 0$ sauf si n divise m . On en déduit $Tr(t^m dt) = 0$ si $m \neq -1[n]$ ou $z^{(m-n+1)/n} dz$ si $m = -1[n]$.

Etant donnée une correspondance $\Gamma \in \text{Cor}(X, Y)$, on notera $[\Gamma]$ la flèche $Tr_{\Gamma/X}$ composée avec le morphisme canonique $pr_2^*(\Omega_Y^\bullet) \rightarrow pr_1^*(\Omega_\Gamma^\bullet)$. Montrons désormais la compatibilité par rapport à la composition des correspondances. Soit donc, $W \in X \times Y$, $W' \in Y \times Z$, avec X , Y et Z affines lisses. En effet, un théorème de Voevodsky, nous assure que l'on peut se restreindre à une telle sous-catégorie ([5 bis]). Comme Ω_X^2 est localement libre, on peut remplacer X par son point générique $\text{Spec}(F)$. On a donc le diagramme suivant :

$$\begin{array}{c} W \subseteq X \times Y \\ \downarrow \\ X = \text{Spec}(F) \end{array}$$

On peut de même remplacer X par W et on se ramène donc au cas où W est le graphe de l'inclusion $i_X : X \rightarrow Y$ avec X , Y affines et lisses. Maintenant, on considère une chaîne de sous-variétés lisses de codimension un : $X = X_0 \subset X_1 \subset \dots \subset X_N = Y$.

Montrons par récurrence descendante sur N , que l'on peut se ramener au cas où X est de codimension 1 dans Y . Supposons la propriété vraie au rang $N-j$ et montrons la au rang $N-j-1$. On a alors :

$$X_{N-j-1} \xrightarrow{i_{N-j-1}} X_{N-j} \xrightarrow{i_{N-j}} Y.$$

Par hypothèse de récurrence, on a $[W'] \circ i_{N-j} = [W' \circ i_{N-j}]$ et i_{N-j-1} est une immersion de codimension 1 entre sous-schémas lisses, donc on peut appliquer l'hypothèse de récurrence. Maintenant, quitte à remplacer Z par la normalisation de W' , on peut supposer que W' est la transposée du graphe d'un F -morphisme fini surjectif de Z vers Y . Comme car $k=0$ et Y et Z lisses, un tel morphisme est étale, on peut donc prendre $Y = \text{Spec}(F[x])$ et $Z = \text{Spec}(F[t])$ avec $t^n = x$.

Alors la composition est $i_X \circ W'$ est nx , et on a juste à vérifier en degré zéro. Dans ce cas, c'est juste le morphisme trace sur le faisceau structural et en degré un, où c'est le calcul fait dans la proposition précédente.

Remarque :

On vient donc de voir que le complexe de de Rham est canoniquement muni de transferts. On a même vu dans la preuve que l'on a des transferts sur les formes différentielles méromorphes. L'extension au cas logarithmique se fait donc de la façon suivante :

-Soit j_X (resp j_Y) l'inclusion de X dans \bar{X} (et pareillement pour Y), une compactification de Y étant fixée.

-D'après le lemme 6, on a vu que si on a $\Gamma : X \rightarrow Y$ dans $\text{SmCor}(k)$ et est irréductible, on a un unique $\bar{\Gamma} : \bar{X} \rightarrow \bar{Y}$ dans $\text{SmCor}(k)$ qui prolonge Γ une fois que l'on a fixé une compactifications \bar{Y} de Y .

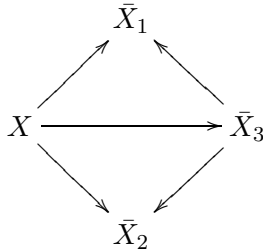
-On a alors déjà un morphisme pour Γ :

$[\Gamma] : j_{Y,*}\Omega_Y^\bullet \rightarrow j_{X,*}\Omega_X^\bullet$, et donc en particulier il suffit de voir que $[\bar{\Gamma}]$ envoie $\Omega_{\bar{Y}}^\bullet(\log)$ sur $\Omega_{\bar{X}}^\bullet(\log)$. Comme à nouveau, pour tout $i \geq 0$, $\Omega_{\bar{X}}^i(\log)$ est localement libre, on se ramène à nouveau au cas où $\bar{X} \rightarrow \bar{Y}$ est un morphisme fini de courbes au-dessus d'une certaine extension de corps F , avec le diviseur à l'infini $t=0$ et $z=0$ et $t^n = z$ avec les mêmes notations que ci-dessus et on a juste besoin de faire le calcul direct pour $\frac{dt}{t} = \frac{dz}{nz}$ ce qu'on voulait.

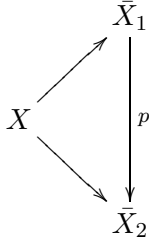
Il ne nous reste donc plus qu'à montrer que ça ne dépend pas de la compactification, on a alors la proposition suivante :

Proposition 23 *Soit $\Gamma : X \rightarrow Y$ dans $\text{SmCor}(k)$ et $\bar{X}_1, \bar{X}_2, \bar{Y}_1$ et \bar{Y}_2 des compactifications de X et Y . On a alors que $\bar{\Gamma} : \bar{X}_1 \rightarrow \bar{Y}_1$ est indépendant des compactifications choisies.*

Preuve 18 *On pose $\bar{Z} := \bar{X}_1 \times \bar{X}_2$, puis on note \bar{X}_3 une désingularisation de l'adhérence de X dans \bar{Z} , on a alors le diagramme suivant :*



ce qui nous permet de nous ramener au cas où on a un diagramme du type :

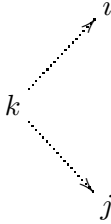


où p est un morphisme propre et pareillement pour Y . Maintenant, la proposition vient du fait qu'un morphisme propre envoie les formes à pôles logarithmiques sur les formes à pôles logarithmiques et qu'une forme rationnelle sur \bar{X} qui s'envoie sur une forme à pôles logarithmiques sur \bar{X}' a elle-même des pôles logarithmiques sur \bar{X} .

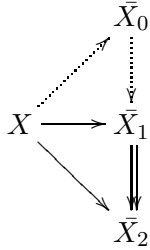
On a alors d'après la proposition 17 que le morphisme $[\bar{\Gamma}] : pr_2^*(\Omega_Y^\bullet(\log)) \rightarrow pr_1^*(\Omega_{\bar{X}}^\bullet(\log))$ s'étend aux résolutions flasques canoniques à $\mathcal{G}_{\text{ét}}^\bullet(\Omega^\bullet(\log))$. On représente alors $R\Gamma(\bar{X}, \Omega_{\bar{X}}^\bullet(\log))$ par $\pi_{\bar{X}*} \mathcal{G}_{\text{ét}}^\bullet(\Omega_{\bar{X}}^\bullet(\log))$. Pour assurer l'indépendance par rapport aux choix des compactifications, on prend la limite inductive sur toutes les compactifications, qui est un système essentiellement constant par ci-dessus. On a donc besoin, du lemme suivant :

Lemme 8 *La catégorie I composée des couples (X, \bar{X}) avec X lisse sur k et \bar{X} compactification lisse et les morphismes naturels entre couples, est cofiltrante.*

Preuve 19 *On a déjà vu dans la proposition précédente que l'on a pour i, j, k des objets de I :*



Il ne nous reste à montrer que l'on a un diagramme du type :



Dans ce cas, on choisit pour \bar{X}_0 une désingularisation de l'adhérence de X dans $\bar{X}_1 \times_{\bar{X}_2} \bar{X}_1$.

On a donc un foncteur $\tilde{R}_{DR} : C^b(\text{SmCor}/k)^{op} \rightarrow C^b(C^+(k_{\text{bifilt}}))$ ainsi que des foncteurs :

$Tot : C^b(C^+(k_{bifilt})) \rightarrow C^+(k_{bifilt})$ et $Dec_W : C^+(k_{bifilt}) \rightarrow C^+(k_{bifilt})$.

On note alors R_{DR} le foncteur composé que l'on prolonge naturellement en un foncteur triangulé de :

$$R_{DR} : K^b(SmCor/k)^{op} \rightarrow D^+(k_{bifilt})$$

En utilisant l'invariance par homotopie et la suite de Mayer-Vietoris pour la cohomologie de de Rham d'une part et d'autre part le fait que $D^+(k_{bifilt})$ est pseudo-abélienne d'après [3]. On en déduit que le foncteur s'étend en un foncteur triangulé $R_{DR} : DM_{gm}^{eff}(k)^{op} \rightarrow D^+(k_{bifilt})$.

Il ne reste plus qu'à vérifier la structure tensorielle :

Lemme 9 *Le foncteur triangulé R_{DR} est tensoriel, on a donc pour tout X, Y k -schémas un isomorphisme :*

$$R_{DR}(X) \otimes R_{DR}(Y) \rightarrow R_{DR}(X \times Y).$$

Preuve 20 *On va d'abord montrer que le foncteur est quasi-tensoriel; on a déjà que $\Omega_{\tilde{X}}^\bullet(\log)$ est muni de transferts et est quasi-monoïdal symétrique, donc par la proposition 18, on obtient que $\mathcal{G}_{\text{ét}}^\bullet \Omega_{\tilde{X}}^\bullet(\log)$ est également quasi-monoïdal symétrique. Cela entraîne que le foncteur $\tilde{R}_{DR} : SmCor/k \rightarrow C^+(k_{bifilt})$ est quasi-monoïdal symétrique, d'où un morphisme canonique de foncteurs sur $SmCor/k \otimes SmCor/k$:*

$$\otimes : \tilde{R}_{DR}(-) \otimes \tilde{R}_{DR}(-) \rightarrow \tilde{R}_{DR}(- \times -)$$

associatif et commutatif. Ce dernier nous fournit des morphismes de foncteurs associatifs et commutatifs :

$$\begin{array}{ccc} \mathcal{C}\tilde{R}_{DR}(-) \otimes \mathcal{C}\tilde{R}_{DR}(-) & \xleftarrow{\otimes^{EML}} \mathcal{C}[\tilde{R}_{DR}(-) \otimes \tilde{R}_{DR}(-)] & \xrightarrow{\mathcal{C}\otimes} \mathcal{C}\tilde{R}_{DR}(- \times -) \\ \downarrow & & \downarrow \\ \tilde{R}_{DR}(-) \otimes \tilde{R}_{DR}(-) & & \tilde{R}_{DR}(- \times -) \end{array}$$

où \otimes^{EML} désigne la transformation d'Eilenberg-MacLane [10 1/2]. On a donc des morphismes de bifoncteurs associatifs et commutatifs :

$$\begin{array}{ccc}
C^b[\mathcal{C}\tilde{R}_{DR}(-) \otimes \mathcal{C}\tilde{R}_{DR}(-)] & \xleftarrow{C^b \otimes^{EML}} C^b[\mathcal{C}[\tilde{R}_{DR}(-) \otimes \tilde{R}_{DR}(-)]] & \xrightarrow{C^b \mathcal{C} \otimes} C^b[\mathcal{C}\tilde{R}_{DR}(- \times -)] \\
\uparrow & & \downarrow \\
\mathbf{R}_{DR}(-) \otimes \mathbf{R}_{DR}(-) & & \mathbf{R}_{DR}(- \times -)
\end{array}$$

Comme en plus, le morphisme d'augmentation : $\Omega_k^\bullet(\log) \rightarrow \mathcal{G}_{\acute{e}t}^\bullet \Omega_k^\bullet(\log)$ est un quasi-isomorphisme qui rend le diagramme commutatif suivant :

$$\begin{array}{ccc}
\mathbf{R}_{DR}(k) \otimes \mathbf{R}_{DR}(-) & \xleftarrow{C^b \otimes^{EML}} C^b[\mathcal{C}[\tilde{R}_{DR}(k) \otimes \tilde{R}_{DR}(-)]] & \xrightarrow{C^b \mathcal{C} \otimes} \mathbf{R}_{DR}(k \times -) \\
\uparrow & & \downarrow \\
\Omega_k^\bullet(\log) \otimes \mathbf{R}_{DR}(-) & \xrightarrow{\hspace{10em}} & \mathbf{R}_{DR}(-)
\end{array}$$

Le fait que le foncteur est tensoriel provient alors du fait que le morphisme de Künneth en cohomologie de de Rham est un isomorphisme pour les variétés lisses sur un corps k , ce qui entraîne l'isomorphisme pour tout motif mixte.

En regardant le motif réduit de \mathbb{P}^1 , on voit qu'il a pour image dans $D^+(k_{bifilt})$, k en degré de Hodge 1. On a donc obtenu le résultat suivant.

Lemme 10 *Il existe un isomorphisme $\phi : R_{DR}(\mathbb{Z}(1)) \rightarrow (k, 1)$.*

Comme $(k, 1)$ est inversible dans $D^+(k_{bifilt})$, R_{DR} s'étend à $DM_{gm}(k)$, la catégorie des motifs mixtes géométriques, en un foncteur triangulé tensoriel.

Conclusion : Nous avons donc construit le foncteur de réalisation de de Rham avec toutes les propriétés voulues. Le point technique fondamental était de mettre explicitement des transferts sur le complexe de de Rham et une fois bien comprise cette machine, l'extension à $DM_{gm}(k)$ est essentiellement formelle. On notera également que cette approche directe

évite les soucis dûs aux structures enrichies sur la cohomologie, que l'on rencontre dans les approches de Lecomte-Wach et Cisinski-Déglise.

Il ne reste plus qu'une remarque à faire. Le cas de la réalisation rigide n'a pas été abordée ici, mais une partie de l'approche énoncée ici peut être réutilisée. Pour obtenir les transferts pour la cohomologie rigide, il suffit de construire un morphisme de transfert pour une correspondance finie irréductible finie W au dessus de X affine lisse. Dans le cas où X est affine lisse, la cohomologie rigide se calcule comme la cohomologie de de Rham d'un 'complété faible' d'un relèvement de X .

De plus, on a par [22] que les morphismes finis surjectifs entre schémas affines lisses se relèvent en des morphismes finis surjectifs au niveau des complétés faibles. Le problème vient alors que la correspondance finie W ne se relève pas, n'étant pas lisse. En revanche, cela devient possible en utilisant de Jong.

Dans ce cas, on a un diagramme de la sorte :

$$\begin{array}{ccc} \tilde{W} & \xrightarrow{f} & W \\ & & \downarrow g \\ & & X \end{array}$$

avec f propre surjective et génériquement étale et \tilde{W} est lisse. Dans ce cas, $g \circ f$ est propre, surjectif et génériquement fini entre schémas lisses. On peut donc appliquer ce qu'on a dit ci-dessus, il faut alors voir que c'est indépendant du choix de l'altération, et que le transfert s'étend. Une fois les transferts mis, le reste est essentiellement formel.

Bibliographie :

- [1] Y. André, *Une introduction aux motifs (motifs purs, motifs mixtes et périodes)*, Panoramas et Synthèses, SMF, 2004.
- [2] M. Artin, *Grothendieck Topologies*, Seminar Notes. Harvard Univ. Dept., Spring 1962.
- [3] P. Balmer, M. Schlichting, *Idempotent completion of triangulated categories*, J. Algebra 236 (2001), no. 2, p. 819-834.
- [4] A. Beilinson, V. Vologodsky, *A DG-guide to Voevodsky's motives*, preprint Arxiv (2008).
- [5] D.C. Cisinski, F. Déglise, *Mixed Weil cohomologies*, Preprint (2007).
- [5 bis] D.C. Cisinski, F. Déglise, *Local and stable homological algebra in Grothendieck categories. Homotopy, homology, applications. Volume 11, No. 1, pp. 219-260 (2009).*
- [6] P. Deligne, *Equations différentielles à points singuliers réguliers*. Lecture Notes in Math. **163** (Springer-Verlag 1970).
- [7] P. Deligne, *Théorie de Hodge II*. Publ. Math. IHES 40 (1972), 5-57.
- [8] P. Deligne, *Catégories tannakiennes*. in Grothendieck Festschrift vol II. Progress in Math. **87** Birkhäuser Boston (1990) pp. 111-195.
- [9] P. Deligne, J.S. Milne, A. Ogus, K.Y. Shih. *Hodge cycles, motives and Shimura varieties*. Lecture Notes in Math. **900** (Springer-Verlag 1982).
- [10] P. Deligne, A. Goncharov, *Groupes fondamentaux motiviques de Tate mixtes*, Ann Sci Ens **38** 1, (2005) p.1-56.
- [10 1/2] S. Eilenberg, J.A. Zilber, *On products of complexes*, Amer. J. Math 75 (1953), p. 200-204.

- [11] E. M. Friedlander and V. Voevodsky, Bivariant Cycle Cohomology, in [34], pp. 138-187.
- [12] W. Fulton, *Intersection theory*, Ergebnisse der Mathematik und ihrer Grenzgebiete. 3. Folge. A Series of Modern Surveys in Mathematics, vol. 2, Springer-Verlag, Berlin, 1998.
- [13] H. Hironaka, *Resolution of singularities of an algebraic variety over a field of characteristic zero. I, II*, Ann. of Math. (1) **79** (1964), 109-203 ; ibid. (2) **79** (1964), p. 205-326.
- [14] A. Huber, *Mixed motives and their realization in derived categories*, Lecture Notes in Mathematics, vol. **1604**, Springer-Verlag, Berlin, 1995.
- [15] F. Ivorra, *Réalisation l -adique des motifs mixtes*, Thèse de doctorat de l'Université Paris 6 (2005).
- [15 bis] F. Ivorra, *Réalisation l -adique des motifs triangulés géométriques I*, Doc Math (2007).
- [16] U. Janssen, *Motives, numerical equivalence, and semi-simplicity*. Invent. Math. **107** : 447-452, 1992.
- [17] M. Kashiwara, P. Schapira, *Categories and sheaves*, Grundlehren der Math. Wiss. **332** Springer-Verlag, (2005).
- [18] H. Kawanoue, *Toward resolution of singularities over a field of positive characteristic Part I. Foundation of the program : the language of the idealistic filtration*, Arxiv.
- [19] H. Kawanoue, K. Matsuki, *Toward resolution of singularities over a field of positive characteristic (The Idealistic Filtration Program) Part II. Basic invariants associated to the idealistic filtration and their properties*, Arxiv.
- [19bis] F. Lecomte, N. Wach, *Le complexe motivique de de Rham*, Arxiv.
- [20] M. Levine, *Mixed motives*, American Mathematical Society, Providence, RI, 1998.
- [20bis] D. Lieberman, *Numerical equivalence and homological equivalence of algebraic cycles on Hodge manifolds*, Amer.J.Math.**90** (1968), p53-66
- [21] C. Mazza, V. Voevodsky, C. Weibel, *Lecture notes on motivic cohomology*, Clay Mathematics Monographs, vol. **2**, American Mathematical Society (2006).

- [22] P. Monsky and G. Washnitzer, Formal Cohomology I The Annals of Mathematics, Second Series, Vol. **88**, No. 2 (Sep., 1968), pp. 181-217.
- [23] Ye. A. Nisnevich, The completely decomposed topology on schemes and associated descent spectral sequences in algebraic K-theory, Algebraic K-theory : connections with geometry and topology (Lake Louise, AB, 1987), Kluwer Acad. Publ., Dordrecht, 1989, pp. 241-342.
- [24] N. Saavedra Rivano, Catégories tannakiennes, Lecture Notes in Mathematics **265**, Springer-Verlag, Berlin, 1972.
- [25] J-P. Serre Algèbre locale, Multiplicités, Cours au Collège de France, 1957-1958, redigé par Pierre Gabriel. Seconde édition, 1965. Lecture Notes in Mathematics, vol. **11**, Springer-Verlag, Berlin, 1965.
- [26] J-P. Serre. Corps locaux. Publications de l'Institut de Mathématique de l'Université de Nancago, VIII. Hermann, Paris, 1962.
- [27] J-P. Serre, Propriétés conjecturales des groupes de Galois motiviques et des représentations l-adiques, Motives (Seattle, WA, 1991), Proc. Sympos. Pure Math., vol. **55**, Amer. Math. Soc., Providence, RI, 1994, Part 1.
- [28] Théorie des topos et cohomologie étale des schemas I, II, III, Springer-Verlag, Berlin, 1972- 1973, Séminaire de Géométrie Algébrique du Bois-Marie 1963-1964 (SGA 4), Dirigé par M. Artin, A. Grothendieck, et J.-L. Verdier. Avec la collaboration de N. Bourbaki, P. Deligne et B. Saint-Donat, Lecture Notes in Mathematics, Vol. **269**, **270**, **305**.
- [29] J-L. Verdier, Des catégories dérivées des catégories abéliennes, Asterisque-Soc. Math. France **239** (1996).
- [30] J.L. Verdier, Catégories triangulées, état 0. Cohomologie étale. Séminaire de Géométrie algébrique du Bois-Marie SGA 4 1/2.
- [31] P. Deligne, SGA 4 1/2, avec la collaboration de J. F. Boutot, A. Grothendieck, L. Illusie et J-L. Verdier. pp. 262-311. Lecture Notes in Mathematics, **569**. Springer-Verlag, Berlin-New York, 1977.
- [32] V. Voevodsky, Triangulated categories of motives over a field, in Cycles, transfers, and motivic homology theories, Annals of Mathematics Studies, vol. **143**, Princeton University Press, Princeton, NJ, 2000.

[33] V. Voevodsky, Homology of schemes, *Selecta Math. (N.S.)* 2 (1996), no. 1, p. 111-153.

[34] V. Voevodsky, A. Suslin and E. M. Friedlander, Cycles, transfers, and motivic homology theories, *Annals of Mathematics Studies*, vol. **143**, Princeton University Press, 2000.